# OPAx991-EP 采用增强型塑料封装的 40V 轨到轨输入/输出、低偏移电压、低噪声运算放大器

## 1 特性

- 增强型塑料
  - 单受控基线
  - 制造、封装测试一体化基地
  - 金线
  - NiPdAu 铅涂层
  - 支持军用（–55°C 至 125°C）温度范围
  - 延长了产品生命周期
  - 延长了产品变更通知
  - 产品可追溯性
  - 采用增强型模塑化合物实现低释气
- 低偏移电压：±125μV
- 低噪声：1kHz 时为 10.8nV/√Hz
- 高共模抑制：130dB
- 低偏置电流：±10pA
- 轨到轨输入和输出
- 宽带宽：4.5MHz GBW
- 高峰值转换率：21V/μs
- 高电容负载驱动：1nF
- 多路复用器友好型输入
- 低静态电流：每个放大器 560μA
- 宽电源电压：±1.35V 至 ±20V，2.7V 至 40V
- 稳健的 EMIRR 性能：输入和电源引脚上均采用 EMI/RFI 滤波器

## 2 应用

- 陆地移动无线电
- 声纳
- 低功率音频前置放大器
- 多路复用数据采集系统
- 测试和测量设备
- ADC 驱动器放大器
- SAR ADC 基准缓冲器
- 可编程逻辑控制器
- 高侧和低侧电流检测

## 3 说明

OPAx991-EP 是一款采用增强型塑料封装的高电压 (40V) 通用运算放大器。该器件具有出色的直流精度和交流性能，包括轨到轨输入/输出、低偏移电压（典型值为 ±125μV）、低温漂（典型值为 ±0.3μV/°C）、低噪声（10.8nV/√Hz 和 1.8$\mu V_{PP}$）和 4.5MHz 带宽。

OPAx991-EP 具有多种独特功能，例如电源轨的差动和共模输入电压范围、高输出电流 (±75mA)、高峰值转换率 (21V/μs) 和高电容负载驱动 (1nF)，是一款稳定可靠的高性能运算放大器，适用于高电压应用。

OPA4991-EP 采用 14 引脚 SOT-23 (DYY) 封装，OPA991-EP 采用 5 引脚 SOT-23 (DBV) 封装，两者的额定温度范围均为 –55°C 到 125°C。

**封装信息**

| 器件型号 | 封装(1) | 封装尺寸(2) |
|---|---|---|
| OPA991-EP(3) | DBV（SOT-23，5） | 2.90mm × 2.80mm |
| OPA4991-EP | DYY（SOT-23，14） | 4.20mm × 1.90mm |

(1) 如需了解所有可用封装，请参阅数据表末尾的可订购产品附录。
(2) 封装尺寸（长 × 宽）为标称值，并包括引脚（如适用）。
(3) 封装仅为预发布状态。

本资源的原文使用英文撰写。 为方便起见，TI 提供了译文；由于翻译过程中可能使用了自动化工具，TI 不保证译文的准确性。 为确认准确性，请务必访问 ti.com 参考最新的英文版本（控制文档）。

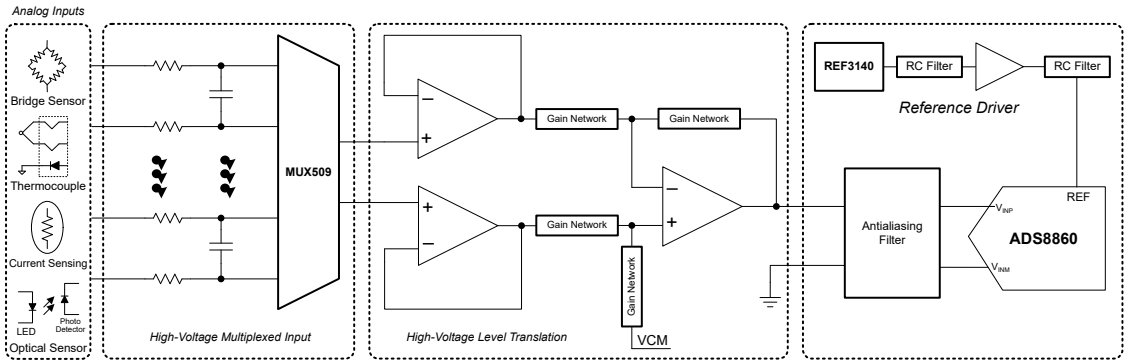


高电压信号链中的 **OPAx991-EP**


Copyright © 2026 Texas Instruments Incorporated

# 内容

**1 特性** ..... 1
**2 应用** ..... 1
**3 说明** ..... 1
**4 引脚配置和功能** ..... 4
**5 规格** ..... 6
5.1 绝对最大额定值 ..... 6
5.2 ESD 等级 ..... 6
5.3 建议运行条件 ..... 6
5.4 热性能信息 ..... 6
5.5 电气特性 ..... 7
5.6 典型特性 ..... 9
**6 详细说明** ..... 16
6.1 概述 ..... 16
6.2 功能方框图 ..... 16
6.3 特性说明 ..... 17
6.4 器件功能模式 ..... 24
**7 应用和实施** ..... 25
7.1 应用信息 ..... 25
7.2 典型应用 ..... 27
7.3 电源相关建议 ..... 28
7.4 布局 ..... 29
**8 器件和文档支持** ..... 31
8.1 器件支持 ..... 31
8.2 文档支持 ..... 31
8.3 接收文档更新通知 ..... 31
8.4 支持资源 ..... 31
8.5 商标 ..... 31
8.6 静电放电警告 ..... 31
8.7 术语表 ..... 32
**9 修订历史记录** ..... 32
**10 机械、封装和可订购信息** ..... 33

Copyright © 2026 Texas Instruments Incorporated

# 4 引脚配置和功能

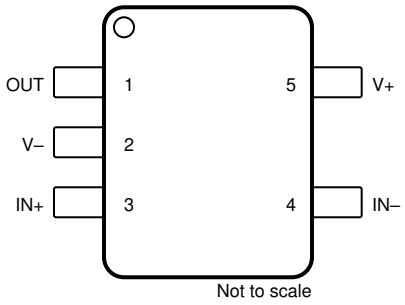


**图 4-1. OPA991-EP DBV 封装**
**5 引脚 SOT-23**
**（顶视图）**

**表 4-1. 引脚功能：OPA991-EP**

| 引脚 | | I/O | 说明 |
|---|---|---|---|
| 名称 | 编号 | | |
| IN+ | 3 | I | 同相输入 |
| IN- | 4 | I | 反相输入 |
| OUT | 1 | O | 输出 |
| V+ | 5 | — | 正（最高）电源 |
| V – | 2 | — | 负（最低）电源 |


Copyright © 2026 Texas Instruments Incorporated

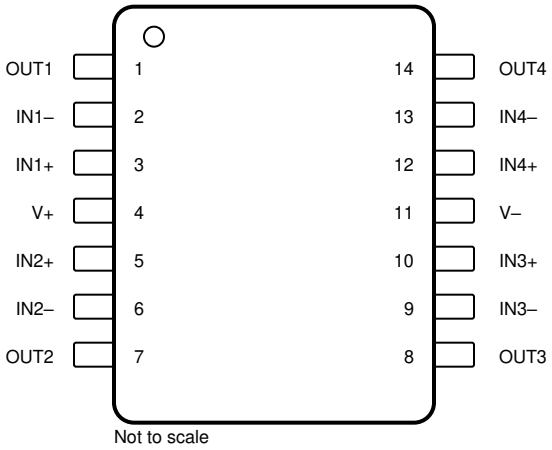


**图 4-2. OPA4991-EP DYY 封装**
**14 引脚 SOT-23**
**（顶视图）**

**表 4-2. 引脚功能：OPA4991-EP**

| 引脚 | | I/O | 说明 |
|---|---|---|---|
| 名称 | 编号 | | |
| IN1+ | 3 | I | 同相输入，通道 1 |
| IN1 – | 2 | I | 反相输入，通道 1 |
| IN2+ | 5 | I | 同相输入，通道 2 |
| IN2 – | 6 | I | 反相输入，通道 2 |
| IN3+ | 10 | I | 同相输入，通道 3 |
| IN3 – | 9 | I | 反相输入，通道 3 |
| IN4+ | 12 | I | 同相输入，通道 4 |
| IN4 – | 13 | I | 反相输入，通道 4 |
| OUT1 | 1 | O | 输出，通道 1 |
| OUT2 | 7 | O | 输出，通道 2 |
| OUT3 | 8 | O | 输出，通道 3 |
| OUT4 | 14 | O | 输出，通道 4 |
| V+ | 4 | — | 正（最高）电源 |
| V – | 11 | — | 负（最低）电源 |

Copyright © 2026 Texas Instruments Incorporated

# 5 规格

## 5.1 绝对最大额定值

在工作环境温度范围内测得（除非另有说明）(1)

| | | 最小值 | 最大值 | 单位 |
|---|---|---|---|---|
| 电源电压，$V_S$ = (V+) – (V–) | | 0 | 42 | V |
| 信号输入引脚 | 共模电压(3) | (V–) – 0.5 | (V+) + 0.5 | V |
| | 差动电压，$V_{ID}$ = \| ($V_{IN+}$) – ($V_{IN–}$) \|(3) | | $V_S$ + 0.2 | V |
| | 电流(3) | -10 | 10 | mA |
| 输出短路(2) | | 持续 | | |
| 工作环境温度，$T_A$ | | -55 | 150 | °C |
| 结温，$T_J$ | | | 150 | °C |
| 存储温度，$T_{stg}$ | | -65 | 150 | °C |

(1) 超出*绝对最大额定值*运行可能会对器件造成永久损坏。*绝对最大额定值*并不表示器件在这些条件下或在*建议运行条件*以外的任何其他条件下能够正常运行。如果超出*建议运行条件*但在*绝对最大额定值*范围内使用，器件可能不会完全正常运行，这可能影响器件的可靠性、功能和性能并缩短器件寿命。
(2) 接地短路，每个封装对应一个放大器。该器件旨在限制因输出电流过大而造成的*电气*损坏，但延长的短路电流，尤其是较高的电源电压下，可能会导致过热并最终导致*热*损坏。有关详细信息，请参阅*热保护*部分。
(3) 输入引脚被二极管钳制至电源轨。对于摆幅超过电源轨 0.5V 以上的输入信号，其电流必须限制在 10mA 或者更低。

## 5.2 ESD 等级

| | | | | 值 | 单位 |
|---|---|---|---|---|---|
| $V_{(ESD)}$ | 静电放电 | 人体放电模型 (HBM)，符合 ANSI/ESDA/JEDEC JS-001(1) | OPA4991-EP | ±2000 | V |
| | | | OPA991-EP | ±1000 | |
| | | 充电设备模型 (CDM)，符合 JEDEC 规范 JESD22-C101(2) | | ±1000 | |

(1) JEDEC 文档 JEP155 指出：500V HBM 时能够在标准 ESD 控制流程下安全生产。
(2) JEDEC 文档 JEP157 指出：250V CDM 时能够在标准 ESD 控制流程下安全生产。

## 5.3 建议运行条件

在工作环境温度范围内测得（除非另有说明）

| | | 最小值 | 最大值 | 单位 |
|---|---|---|---|---|
| $V_S$ | 电源电压，(V+) – (V–) | 2.7 | 40 | V |
| $V_I$ | 输入电压范围 | (V–) – 0.1 | (V+) + 0.1 | V |
| $T_A$ | 额定环境温度 | -55 | 125 | °C |

## 5.4 热性能信息

| 热指标(1) | | OPA4991-EP | OPA991-EP | 单位 |
|---|---|---|---|---|
| | | DYY (SOT-23) | DBV (SOT-23) | |
| | | 14 引脚 | 5 引脚 | |
| $R_{\theta JA}$ | 结至环境热阻 | 121.6 | 187.4 | °C/W |
| $R_{\theta JC(top)}$ | 结至外壳（顶部）热阻 | 53.6 | 86.2 | °C/W |
| $R_{\theta JB}$ | 结至电路板热阻 | 47.8 | 54.6 | °C/W |
| $\Psi_{JT}$ | 结至顶部特征参数 | 2.1 | 27.8 | °C/W |
| $\Psi_{JB}$ | 结至电路板特征参数 | 47.6 | 54.3 | °C/W |
| $R_{\theta JC(bot)}$ | 结至外壳（底部）热阻 | 不适用 | 不适用 | °C/W |

(1) 有关新旧热指标的更多信息，请参阅*半导体和 IC 封装热指标*应用报告。


Copyright © 2026 Texas Instruments Incorporated

## 5.5 电气特性

除非另有说明，否则对于 $V_S$ = (V+) – (V–) = 2.7V 至 40V（±1.35V 至 ±20V），$T_A$ = 25°C，$R_L$ = 10kΩ 且连接至 $V_S$ / 2，$V_{CM}$ = $V_S$ / 2，以及
$V_{OUT}$ = $V_S$ / 2。

| 参数 | | 测试条件 | | 最小值 | 典型值 | 最大值 | 单位 |
|---|---|---|---|---|---|---|---|
| **失调电压** | | | | | | | |
| $V_{OS}$ | 输入偏移电压 | $V_{CM}$ = V– | | | ±125 | ±895 | μV |
| | | | $T_A$ = -55°C 至 125°C | | | ±925 | |
| $dV_{OS}/dT$ | 输入失调电压漂移 | $T_A$ = -55°C 至 125°C | | | ±0.3 | | μV/°C |
| PSRR | 输入失调电压与电源间的关系 | $V_{CM}$ = V–，$T_A$ = –55°C 至 125°C | $V_S$ = 4V 至 40V | | ±0.3 | ±1 | μV/V |
| | | | $V_S$ = 2.7V 至 40V(2) | | ±1 | ±5 | |
| | 通道隔离 | f = 0Hz | | | 5 | | μV/V |
| **输入偏置电流** | | | | | | | |
| $I_B$ | 输入偏置电流 | | | | ±10 | | pA |
| $I_{OS}$ | 输入偏移电流 | | | | ±10 | | pA |
| **噪声** | | | | | | | |
| $E_N$ | 输入电压噪声 | f = 0.1Hz 至 10Hz | | | 1.8 | | $μV_{PP}$ |
| | | | | | 0.3 | | $μV_{RMS}$ |
| $e_N$ | 输入电压噪声密度 | f = 1kHz | | | 10.8 | | nV/√Hz |
| | | f = 10kHz | | | 9.4 | | |
| $i_N$ | 输入电流噪声 | f = 1kHz | | | 82 | | fA/√Hz |
| **输入电压范围** | | | | | | | |
| $V_{CM}$ | 共模电压范围 | | | (V–) – 0.1 | | (V+) + 0.1 | V |
| CMRR | 共模抑制比 | (V–) – 0.1V < $V_{CM}$ < (V+) – 2V（主输入对），$T_A$ = –55°C 至 125°C | $V_S$ = 40V | 107 | 130 | | dB |
| | | | $V_S$ = 4V | 82 | 100 | | |
| | | | $V_S$ = 2.7V(2) | 75 | 95 | | |
| | | $V_S$ = 2.7V 至 40V，(V+) – 1V < $V_{CM}$ < (V+) + 0.1V（辅助输入对），$T_A$ = –55°C 至 125°C | | | 85 | | |
| **输入电容** | | | | | | | |
| $Z_{ID}$ | 差分 | | | | 100 \|\| 9 | | MΩ \|\| pF |
| $Z_{ICM}$ | 共模 | | | | 6 \|\| 1 | | TΩ \|\| pF |
| **开环增益** | | | | | | | |
| $A_{OL}$ | 开环电压增益 | $V_S$ = 40V，$V_{CM}$ = V–，(V–) + 0.1V < $V_O$ < (V+) – 0.1V | | 120 | 145 | | dB |
| | | | $T_A$ = -55°C 至 125°C | | 142 | | |
| | | $V_S$ = 4V，$V_{CM}$ = V–，(V–) + 0.1V < $V_O$ < (V+) – 0.1V | | 104 | 130 | | |
| | | | $T_A$ = -55°C 至 125°C | | 125 | | |
| | | $V_S$ = 2.7V，$V_{CM}$ = V–，(V–) + 0.1V < $V_O$ < (V+) – 0.1V(2) | | 101 | 120 | | |
| | | | $T_A$ = -55°C 至 125°C | | 118 | | |
| **频率响应** | | | | | | | |
| GBW | 增益带宽积 | | | | 4.5 | | MHz |
| SR | 压摆率(3) | $V_S$ = 40V，G = +1，$C_L$ = 20pF | 20mV < $V_{ID}$ < 150mV | | 0.5 | | V/μs |
| | | | $V_{ID}$ > 150mV | | 21 | | |
| $t_S$ | 趋稳时间 | 精度达到 0.01%，$V_S$ = 40V，G = +1，$C_L$ = 20pF | $V_{STEP}$ = 10 V | | 2.5 | | μs |
| | | | $V_{STEP}$ = 2 V | | 1.5 | | |
| | | 精度达到 0.1%，$V_S$ = 40V，G = +1，$C_L$ = 20pF | $V_{STEP}$ = 10 V | | 2 | | |
| | | | $V_{STEP}$ = 2 V | | 1 | | |
| | 相位裕度 | G = +1，$R_L$ = 10kΩ，$C_L$ = 20pF | | | 60 | | ° |
| | 过载恢复时间 | $V_{IN}$ × 增益 > $V_S$ | | | 400 | | ns |
| THD+N | 总谐波失真 + 噪声 (1) | $V_S$ = 40V，$V_O$ = $3V_{RMS}$，G = +1，f = 1kHz | | | 0.00021 | | % |

Copyright © 2026 Texas Instruments Incorporated

## 5.5 电气特性（续）

除非另有说明，否则对于 $V_S$ = (V+) – (V–) = 2.7V 至 40V（±1.35V 至 ±20V），$T_A$ = 25°C，$R_L$ = 10kΩ 且连接至 $V_S$ / 2，$V_{CM}$ = $V_S$ / 2，以及 $V_{OUT}$ = $V_S$ / 2。

| 参数 | | 测试条件 | | 最小值 | 典型值 | 最大值 | 单位 |
|---|---|---|---|---|---|---|---|
| **输出** | | | | | | | |
| | 相对于电源轨的电压输出摆幅 | 正负电源轨余量 | $V_S$ = 40V，$R_L$ = 空载(2) | | 5 | 10 | mV |
| | | | $V_S$ = 40V，$R_L$ = 10kΩ | | 50 | 70 | |
| | | | $V_S$ = 40V，$R_L$ = 2kΩ | | 300 | 350 | |
| | | | $V_S$ = 2.7V，$R_L$ = 空载(2) | | 1 | 6 | |
| | | | $V_S$ = 2.7V，$R_L$ = 10kΩ | | 5 | 12 | |
| | | | $V_S$ = 2.7V，$R_L$ = 2kΩ | | 25 | 40 | |
| $I_{SC}$ | 短路电流 | | | | ±75 | | mA |
| $C_{LOAD}$ | 容性负载驱动 | | | | 1000 | | pF |
| $Z_O$ | 开环输出阻抗 | f = 1MHz，$I_O$ = 0A | | | 525 | | Ω |
| **电源** | | | | | | | |
| $I_Q$ | 每个放大器的静态电流 | $V_{CM}$ = V–，$I_O$ = 0A | OPA4991-EP | | 560 | 685 | μA |
| | | | OPA991-EP | | 560 | 691 | |
| | | $V_{CM}$ = V–，$I_O$ = 0A，$T_A$ = –55°C 至 125°C | OPA4991-EP | | | 750 | |
| | | | OPA991-EP | | | 769 | |

(1) 三阶滤波器；-3dB 时的带宽 = 80kHz。
(2) 仅由特性确定。
(3) 有关详细讨论，请参阅*转换率增强*。


Copyright © 2026 Texas Instruments Incorporated

## 5.6 典型特性

$T_A$ = 25°C，$V_S$ = ±20V，$V_{CM}$ = $V_S$ / 2，$R_{LOAD}$ = 10kΩ 连接至 $V_S$ / 2，且 $C_L$ = 10pF（除非另有说明）

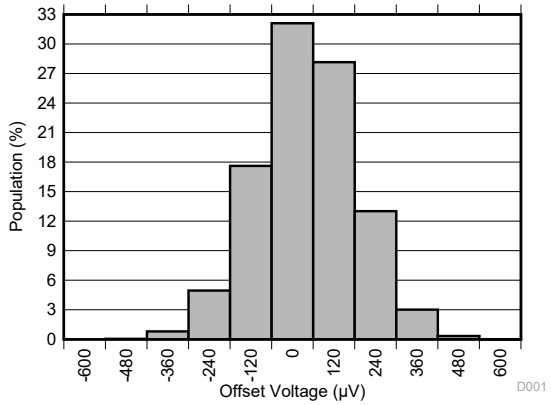


$T_A$ = 25°C 时 15462 个放大器的分配

**图 5-1. 失调电压产生分布**

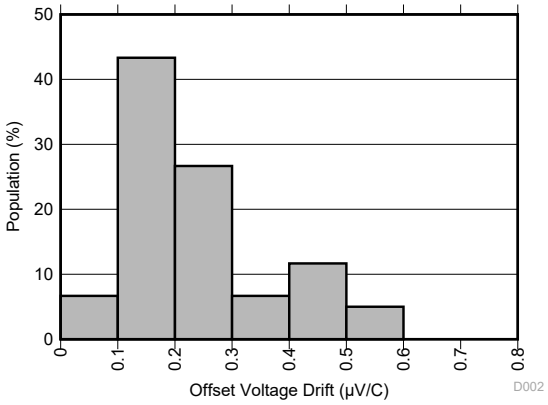


60 个放大器的分配

**图 5-2. 失调电压漂移分配**

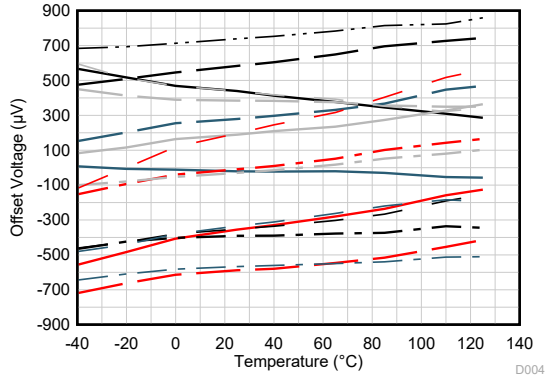


$V_{CM}$ = V+

**图 5-3. 失调电压与温度间的关系**

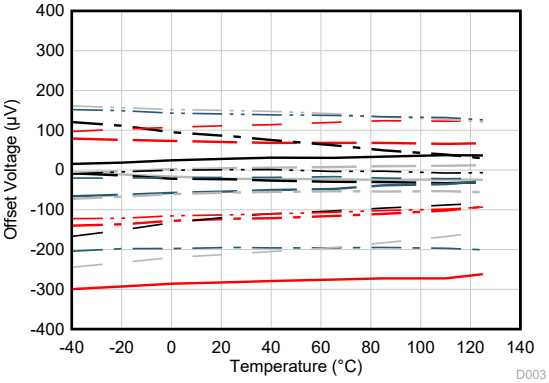


$V_{CM}$ = V –

**图 5-4. 失调电压与温度间的关系**

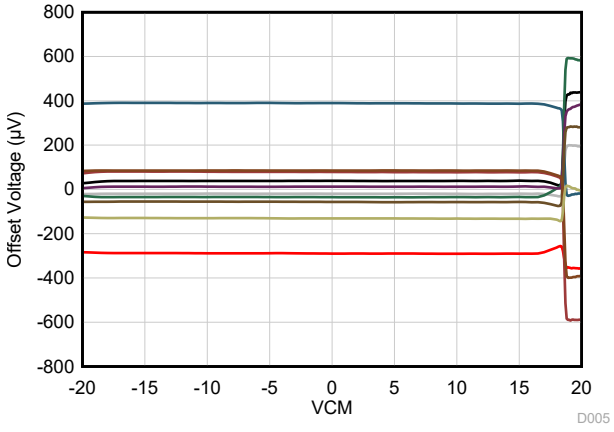


$T_A$ = 25°C

**图 5-5. 失调电压与共模电压间的关系**

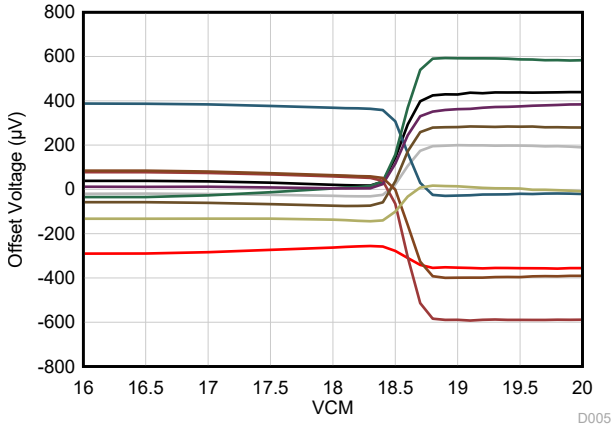


$T_A$ = 25°C

**图 5-6. 失调电压与共模电压间的关系（切换区域）**

Copyright © 2026 Texas Instruments Incorporated

## 5.6 典型特性 (续)

$T_A$ = 25°C，$V_S$ = ±20V，$V_{CM}$ = $V_S$ / 2，$R_{LOAD}$ = 10kΩ 连接至 $V_S$ / 2，且 $C_L$ = 10pF（除非另有说明）

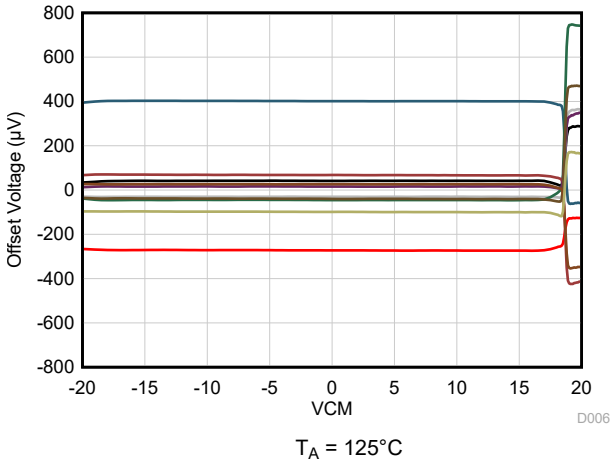


图 5-7. 失调电压与共模电压间的关系

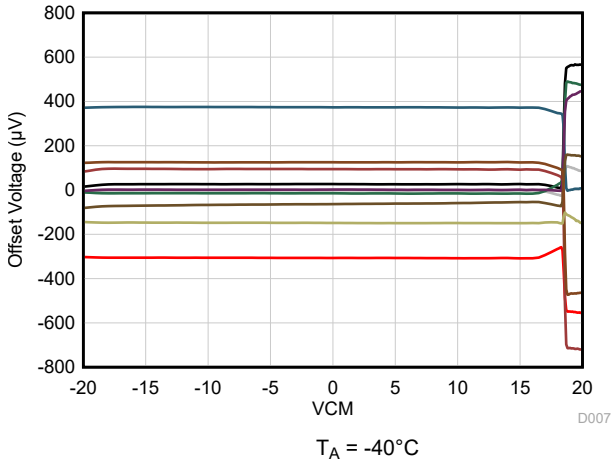


图 5-8. 失调电压与共模电压间的关系

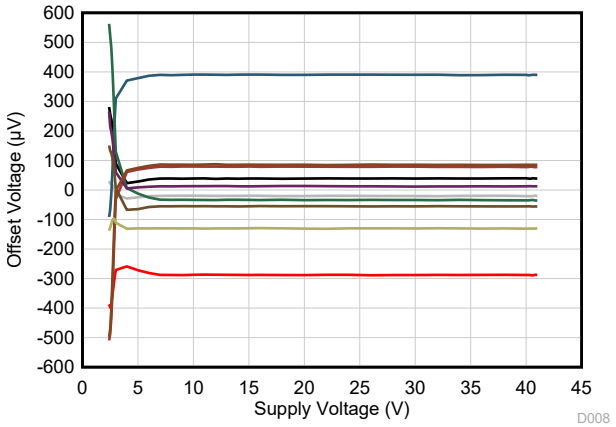


图 5-9. 失调电压与电源间的关系

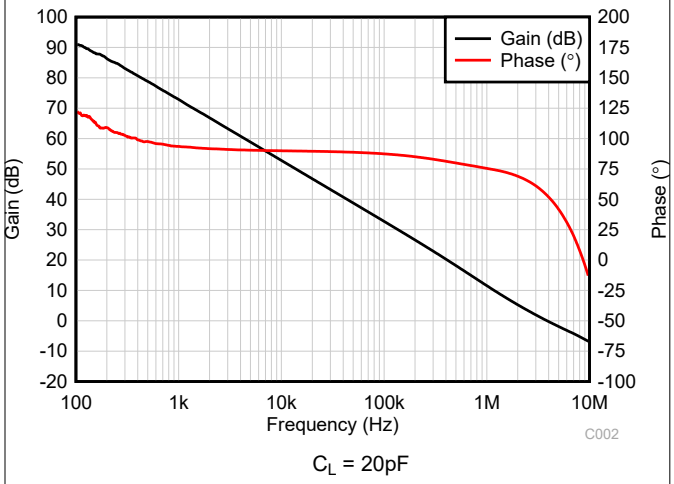


图 5-10. 开环增益和相位与频率间的关系

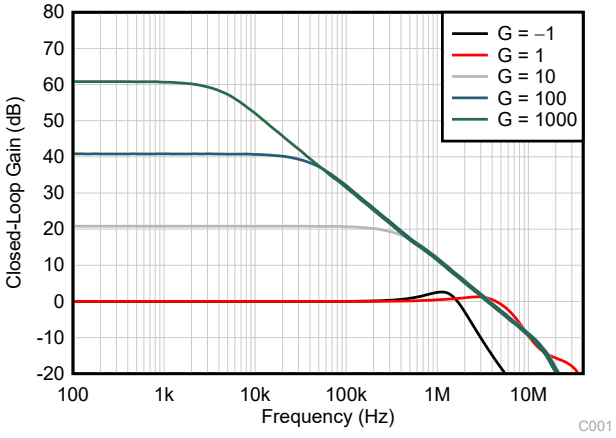


图 5-11. 闭环增益与频率间的关系

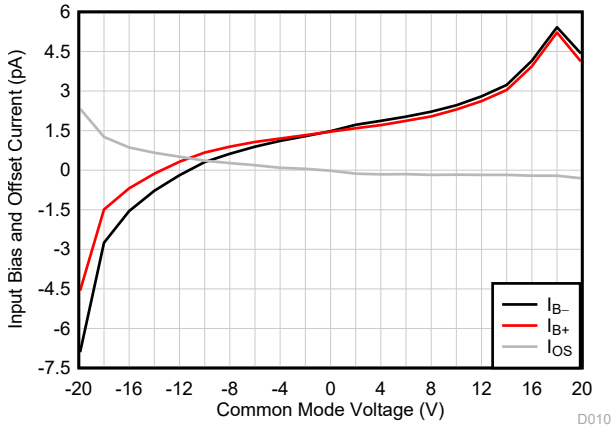


图 5-12. 输入偏置电流与共模电压间的关系


Copyright © 2026 Texas Instruments Incorporated

## 5.6 典型特性 (续)

$T_A$ = 25°C，$V_S$ = ±20V，$V_{CM}$ = $V_S$ / 2，$R_{LOAD}$ = 10kΩ 连接至 $V_S$ / 2，且 $C_L$ = 10pF（除非另有说明）

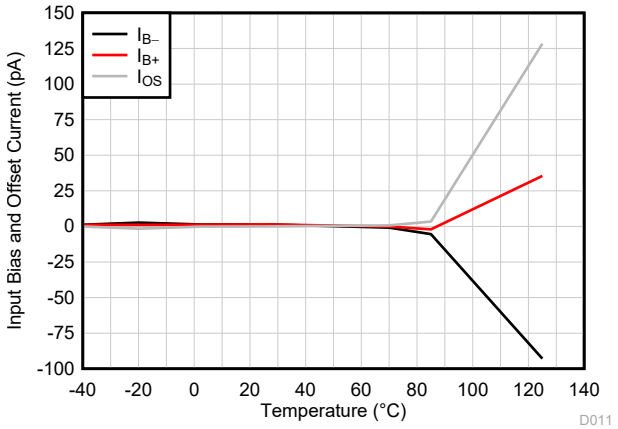


图 5-13. 输入偏置电流与温度间的关系

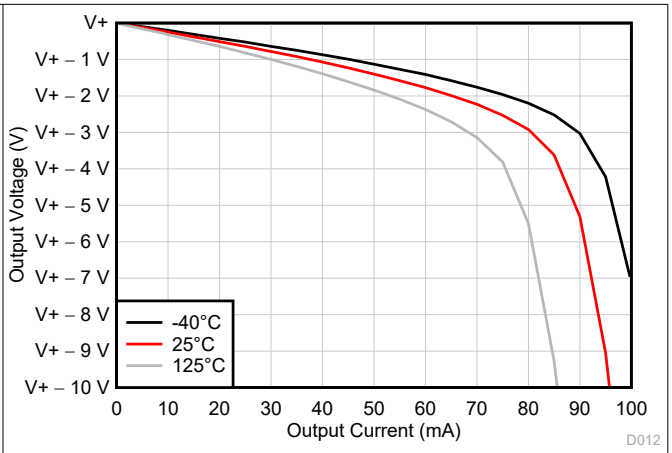


图 5-14. 输出电压摆幅与输出电流（拉电流）间的关系

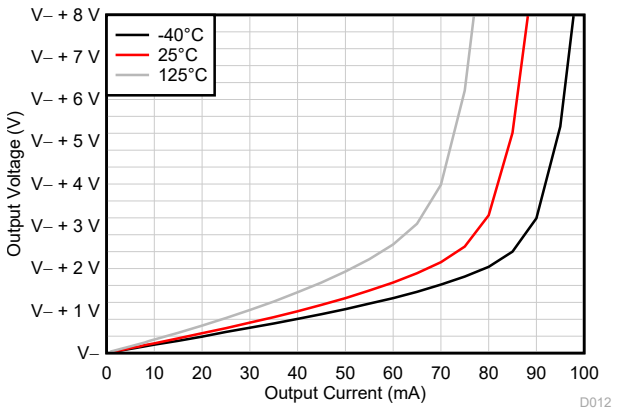


图 5-15. 输出电压摆幅与输出电流（灌电流）间的关系

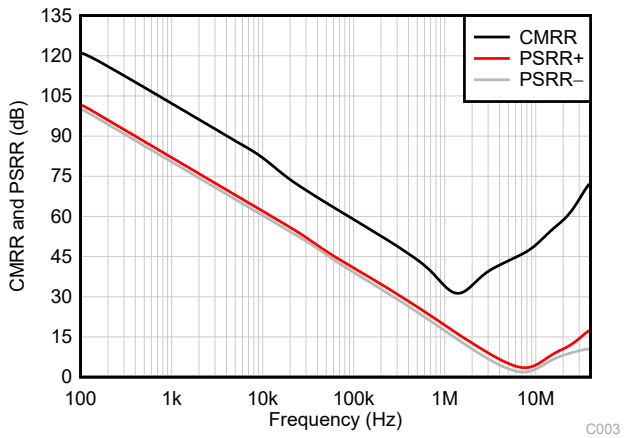


图 5-16. CMRR 和 PSRR 与频率间的关系

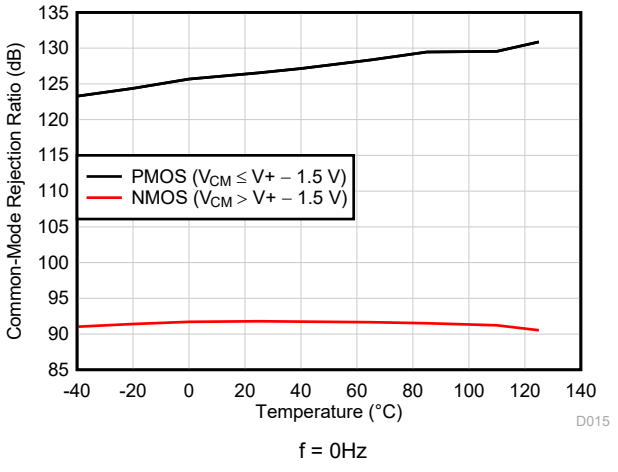


图 5-17. CMRR 与温度间的关系 (dB)

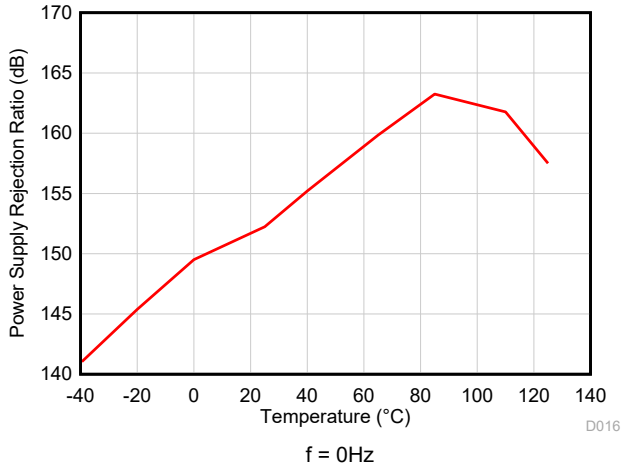


图 5-18. PSRR 与温度间的关系 (dB)

Copyright © 2026 Texas Instruments Incorporated

## 5.6 典型特性 (续)

$T_A$ = 25°C，$V_S$ = ±20V，$V_{CM}$ = $V_S$ / 2，$R_{LOAD}$ = 10kΩ 连接至 $V_S$ / 2，且 $C_L$ = 10pF（除非另有说明）

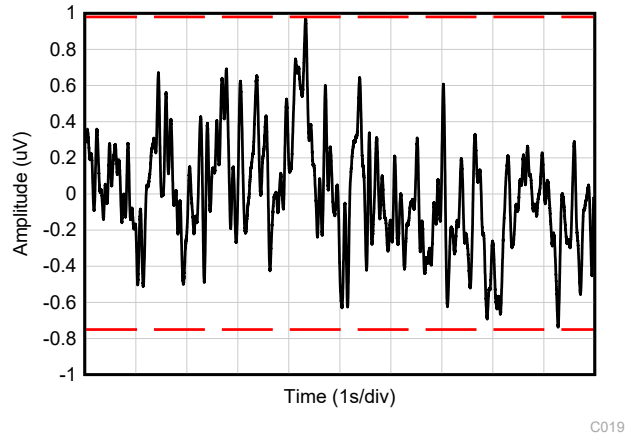


图 5-19. 0.1Hz 至 10Hz 噪声

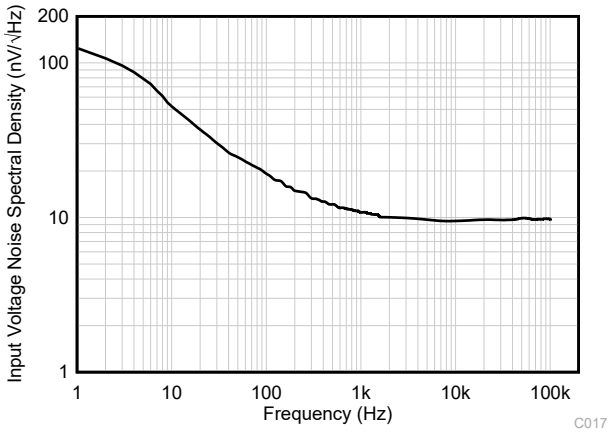


图 5-20. 输入电压噪声频谱密度与频率间的关系

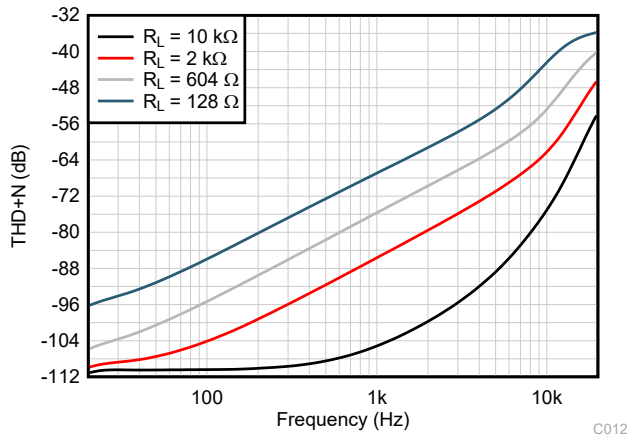


BW = 80kHz，$V_{OUT}$ = 1$V_{RMS}$

图 5-21. THD+N 比与频率间的关系

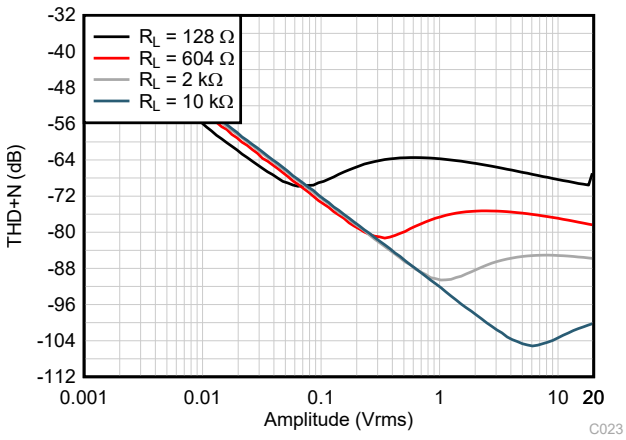


BW = 80kHz，f = 1kHz

图 5-22. THD+N 与输出幅度间的关系

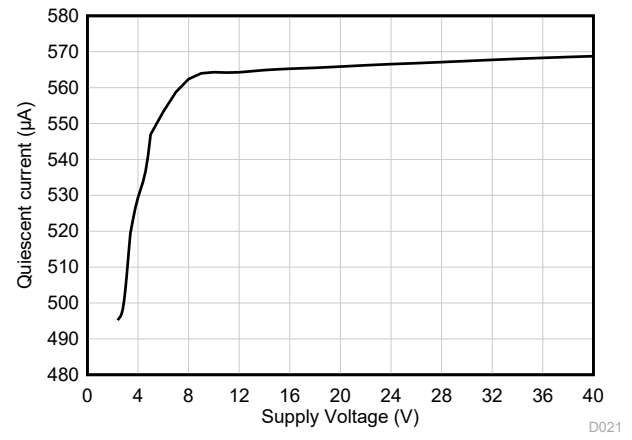


$V_{CM}$ = V –

图 5-23. 静态电流与电源电压间的关系

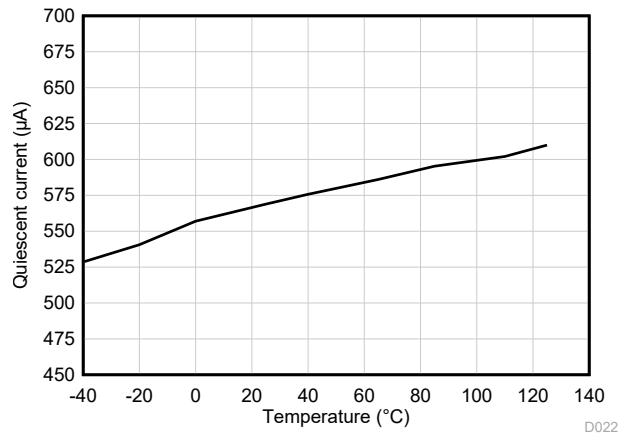


图 5-24. 静态电流与温度间的关系


Copyright © 2026 Texas Instruments Incorporated

## 5.6 典型特性 (续)

$T_A$ = 25°C，$V_S$ = ±20V，$V_{CM}$ = $V_S$ / 2，$R_{LOAD}$ = 10kΩ 连接至 $V_S$ / 2，且 $C_L$ = 10pF（除非另有说明）

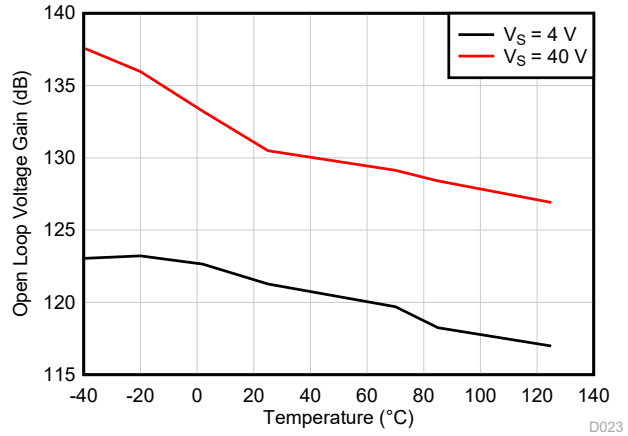


图 5-25. 开环电压增益与温度间的关系 (dB)

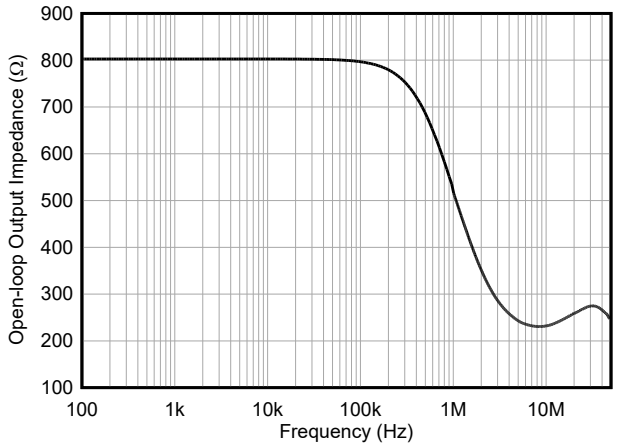


图 5-26. 开环输出阻抗与频率间的关系

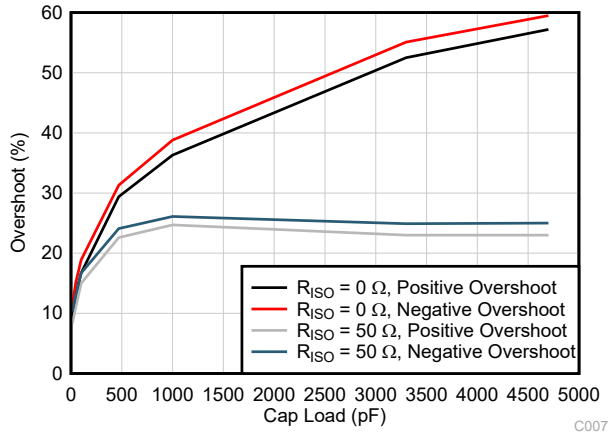


G = –1，10mV 输出阶跃

图 5-27. 小信号过冲与容性负载间的关系

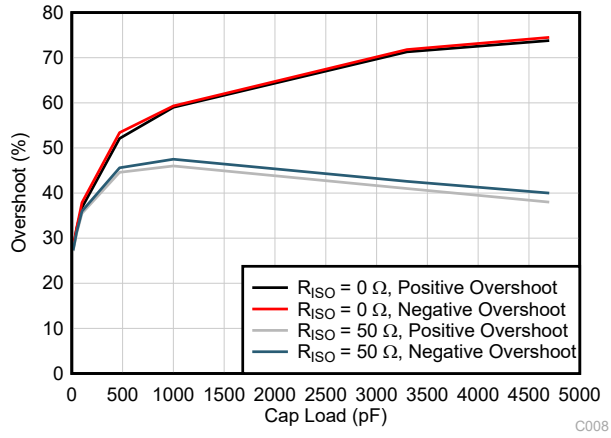


G = 1，10mV 输出阶跃

图 5-28. 小信号过冲与容性负载间的关系

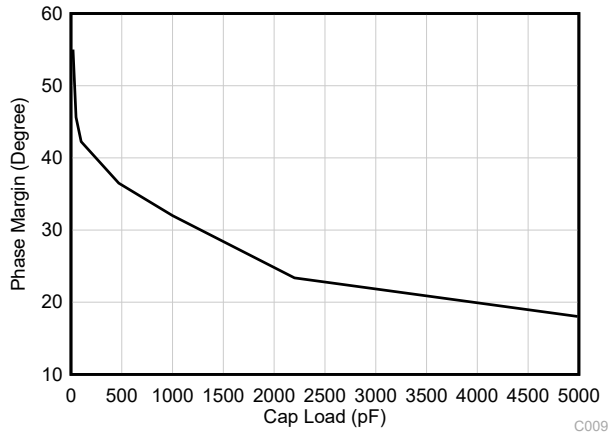


图 5-29. 相位裕度与容性负载间的关系

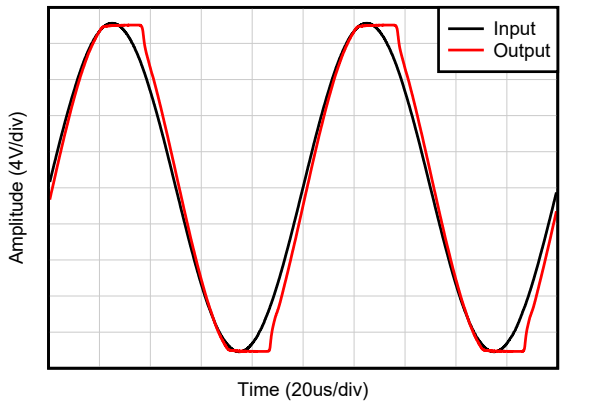


$V_{IN}$ = ±20V；$V_S$ = $V_{OUT}$ = ±17V

图 5-30. 无相位反转

## 5.6 典型特性 (续)

$T_A$ = 25°C，$V_S$ = ±20V，$V_{CM}$ = $V_S$ / 2，$R_{LOAD}$ = 10kΩ 连接至 $V_S$ / 2，且 $C_L$ = 10pF（除非另有说明）

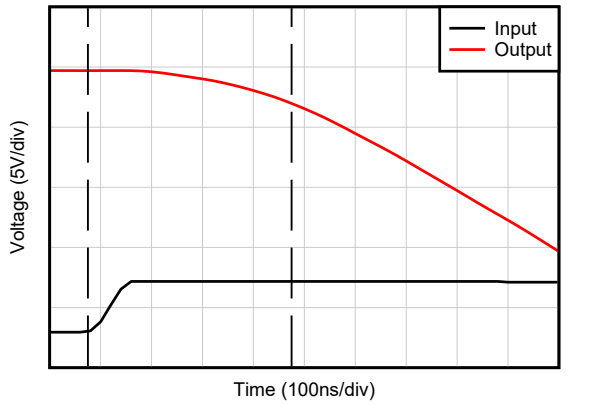


G = -10

**图 5-31. 正过载恢复**

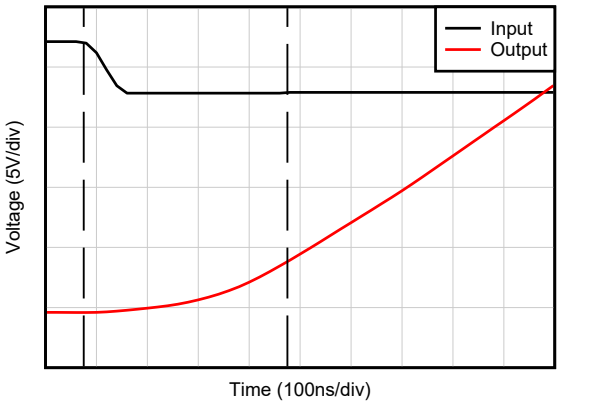


G = -10

**图 5-32. 负过载恢复**

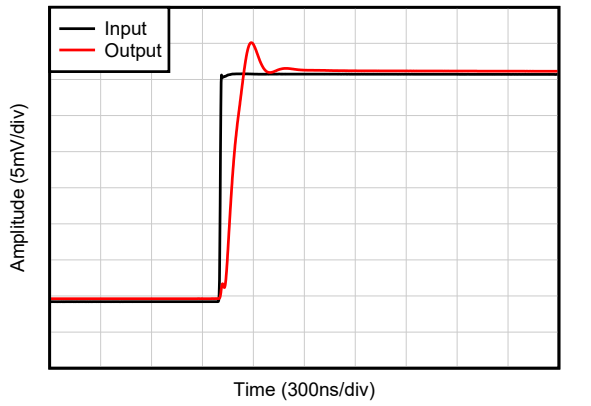


$C_L$ = 20pF，G = 1，20mV 阶跃响应

**图 5-33. 小信号阶跃响应，上升**

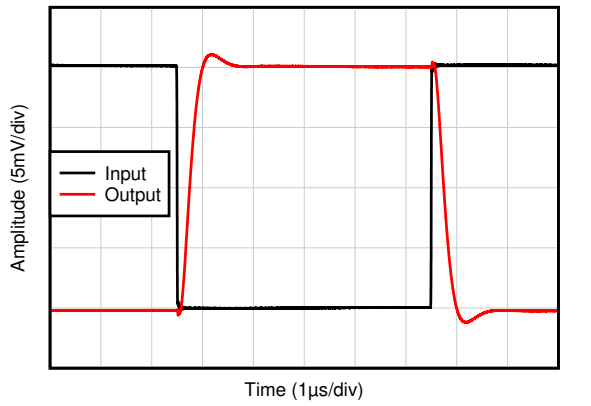


$C_L$ = 20pF，G = -1，20mV 阶跃响应

**图 5-34. 小信号阶跃响应**

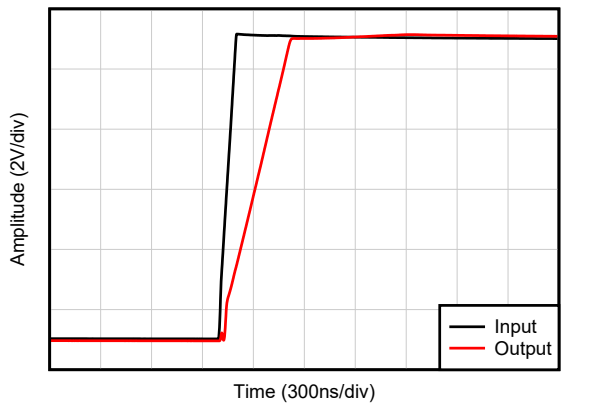


$C_L$ = 20pF，G = 1

**图 5-35. 大信号阶跃响应（上升）**

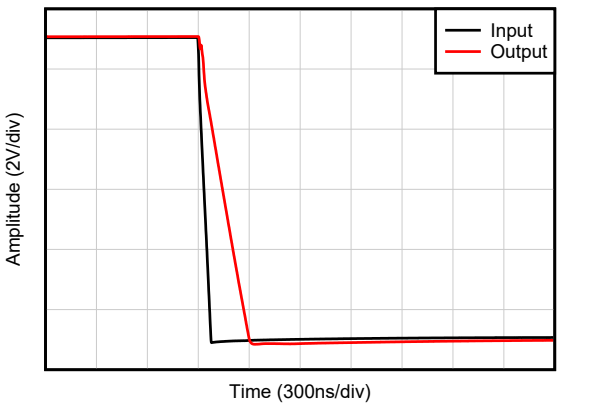


$C_L$ = 20pF，G = 1

**图 5-36. 大信号阶跃响应（下降）**


Copyright © 2026 Texas Instruments Incorporated

## 5.6 典型特性 (续)

$T_A$ = 25°C，$V_S$ = ±20V，$V_{CM}$ = $V_S$ / 2，$R_{LOAD}$ = 10kΩ 连接至 $V_S$ / 2，且 $C_L$ = 10pF（除非另有说明）

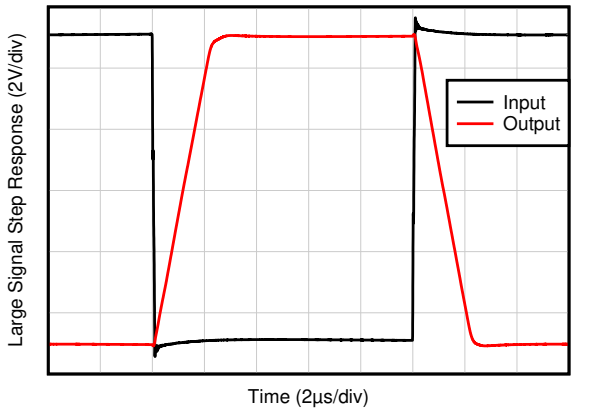


$C_L$ = 20pF，G = -1

图 5-37. 大信号阶跃响应

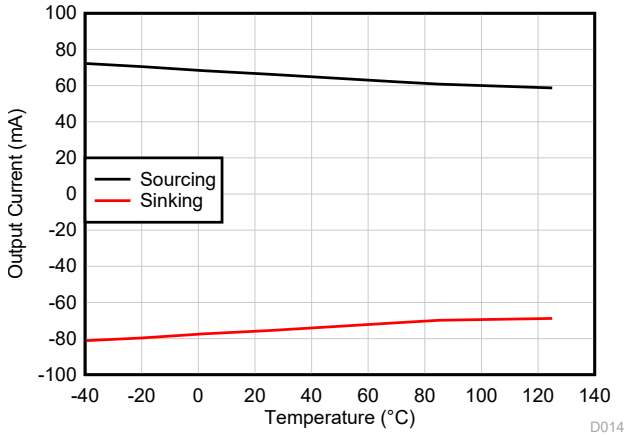


图 5-38. 短路电流与温度间的关系

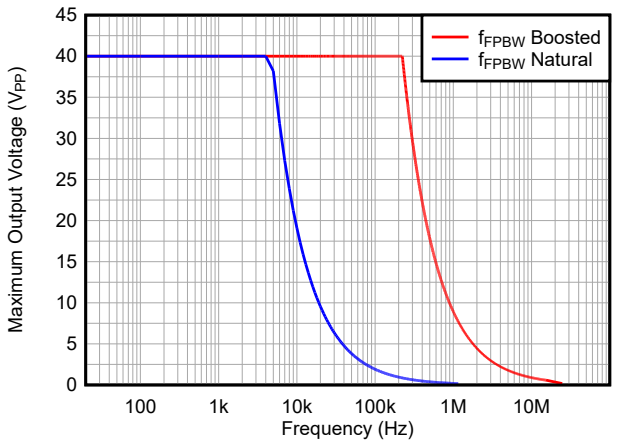


图 5-39. 最大输出电压与频率间的关系

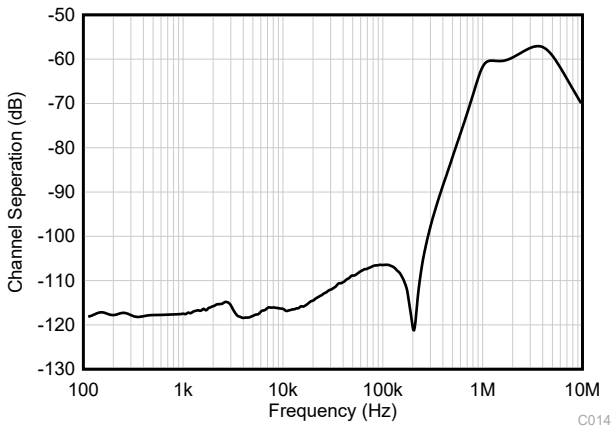


图 5-40. 通道隔离与频率间的关系

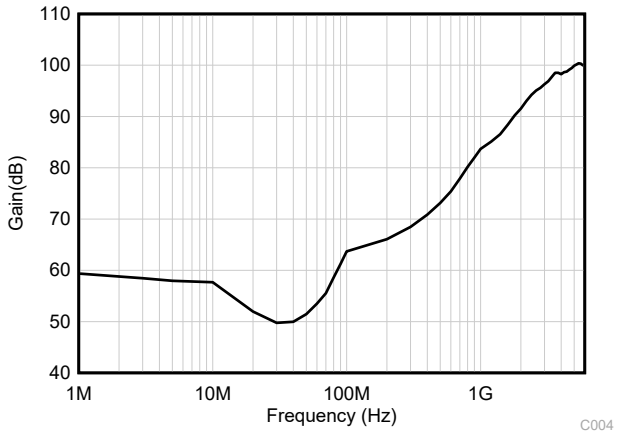


图 5-41. EMIRR（电磁干扰抑制比）输入与频率间的关系

Copyright © 2026 Texas Instruments Incorporated

# 6 详细说明

## 6.1 概述

OPAx991-EP 是一款 40V 通用运算放大器。此器件具有出色的直流精度和交流性能，包括轨到轨输入/输出、低偏移电压（典型值为 ±125μV）、低温漂（典型值为 ±0.3μV/°C）和 4.5MHz 带宽。

OPAx991-EP 具有诸如电源轨的差动和共模输入电压范围、高输出电流 (±75mA) 和高峰值转换率(21V/μs) 的功能，是一款稳定可靠的高性能运算放大器，适用于各种高电压应用。

## 6.2 功能方框图

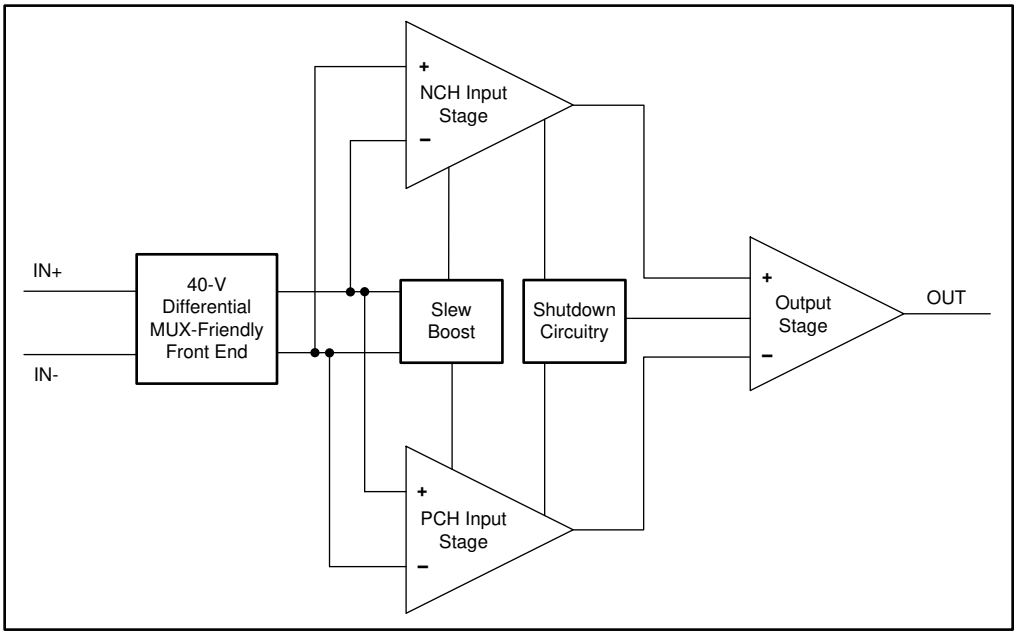



Copyright © 2026 Texas Instruments Incorporated

## 6.3 特性说明

### 6.3.1 输入保护电路

OPAx991-EP 使用独特的输入架构来消除对输入保护二极管的需求，但在瞬态情形下仍能提供可靠的输入保护。图 6-1 展示了传统的输入二极管保护方案，这些保护方案会在快速瞬态阶跃响应的作用下被激活，但由于存在交流电路径，这将引入信号失真和稳定时间延迟，如图 6-2 所示。对于低增益电路，这些快速斜向输入信号对背对背二极管进行正向偏置，这会导致输入电流增加，进而使稳定时间延长。

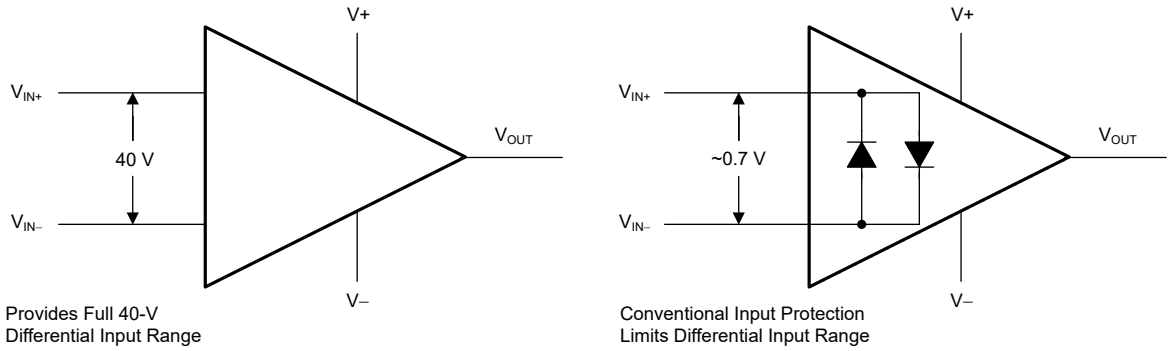


**图 6-1. OPAx991-EP 输入保护不限制差动输入能力**

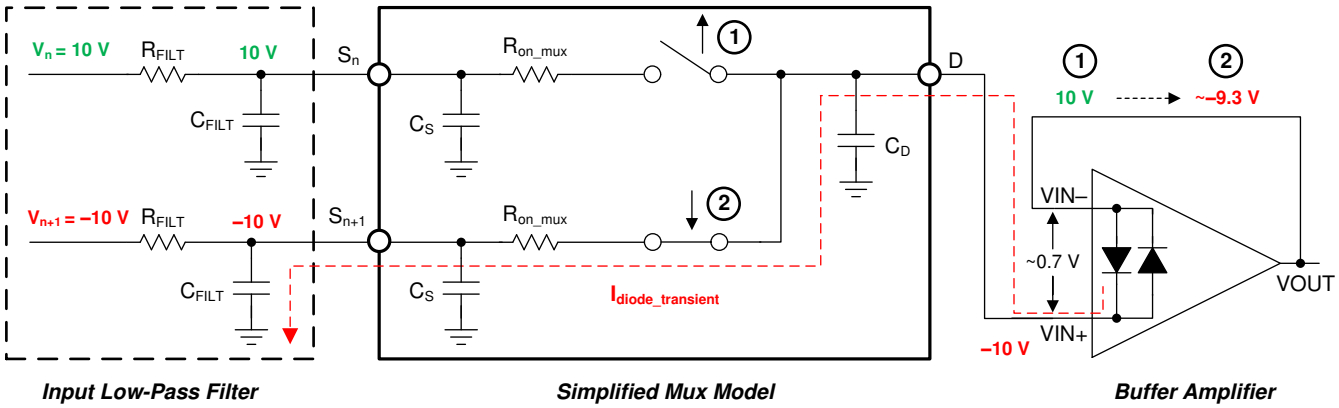


**图 6-2. 背对背二极管造成稳定问题**

OPAx991-EP 系列运算放大器采用专利输入保护架构，为高电压应用提供了真正的高阻抗差动输入能力，不会引入额外的信号失真或延迟的稳定时间，因此该器件适用于多通道、高开关输入应用的运算放大器。OPAx991-EP 允许最大差动摆幅（运算放大器的反相和非反相引脚之间的电压）高达 40V，使得该器件适合用作比较器或用于具有快速斜向输入信号的应用中，例如数据采集系统；有关更多信息，请参阅 TI 技术手册*支持多路复用器的精密运算放大器*。

### 6.3.2 EMI 抑制

OPAx991-EP 通过集成电磁干扰 (EMI) 滤波降低无线通信设备、混合使用模拟信号链和数字元件的高密度电路板等干扰源产生的 EMI 效应。通过电路设计技术可改进 EMI 抗扰度；OPAx991-EP 受益于这些设计改进措施。德州仪器 (TI) 已具备在 10MHz 至 6GHz 宽频谱范围内准确测量和量化运算放大器抗扰度的能力。图 6-3 显示了对 OPAx991-EP 执行此测试的结果。表 6-1 提供了 OPAx991-EP 在实际应用中通常会遇到的特定频率下的 EMIRR IN+ 值。*运算放大器的 EMI 抑制比*应用报告包含了与运算放大器相关的 EMIRR 性能主题，该报告可在 www.ti.com 上下载。

Copyright © 2026 Texas Instruments Incorporated

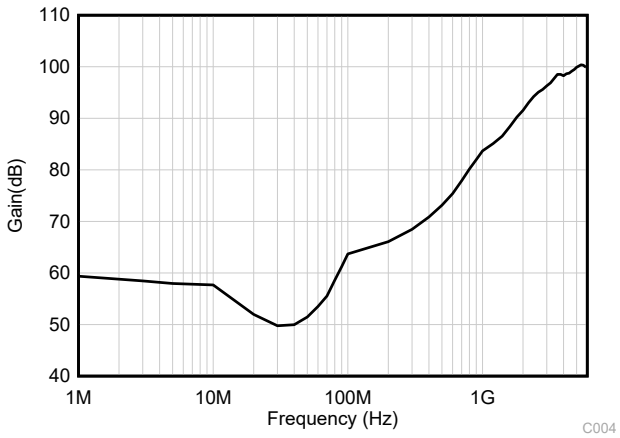


**图 6-3. EMIRR 测试**

**表 6-1. OPAx991-EP 在相关频率下的 EMIRR IN+**

| 频率 | 应用或分配 | EMIRR IN+ |
|---|---|---|
| 400MHz | 移动无线广播、移动卫星、太空操作、气象、雷达、超高频 (UHF) 应用 | 73.2dB |
| 900MHz | 全球移动通信系统 (GSM) 应用、无线电通信、导航、GPS（最高可达 1.6GHz）、GSM、航空移动通信及 UHF 应用 | 82.5dB |
| 1.8GHz | GSM 应用、个人移动通信、宽带、卫星和 L 波段（1GHz 至 2GHz） | 89.7dB |
| 2.4GHz | 802.11b、802.11g、802.11n、Bluetooth®、个人移动通信、工业、科学和医疗 (ISM) 无线频段、业余无线电通信和卫星、S 波段（2GHz 至 4GHz） | 93.9dB |
| 3.6GHz | 无线电定位、航空通信和导航、卫星、移动通信、S 波段 | 95.7dB |
| 5GHz | 802.11a、802.11n、航空通信和导航、移动通信、太空和卫星运行、C 波段（4GHz 至 8GHz） | 98.0dB |


Copyright © 2026 Texas Instruments Incorporated

### 6.3.3 过热保护

任何放大器的内部功耗都会导致内部温度（结温）升高。这一现象称为*自热*。OPAx991-EP 的绝对最大结温为 150°C。超过此温度会损坏器件。OPAx991-EP 具有过热保护功能，可减少自热造成的损坏。该保护功能的工作原理是监视器件的温度，并在温度超过 170°C 时关闭运算放大器输出驱动。图 6-4 展示了 OPA4991-EP 的应用示例，该器件因为其功耗 (0.81W) 而会产生显著的自热。热能计算表明，当环境温度为 65°C 时，器件结温将达到 177°C。不过，实际器件会关闭输出驱动来恢复到安全的结温。图 6-4 展示了电路在过热保护期间的行为。在正常工作期间，器件充当缓冲器，因此输出为 3V。当自热导致器件结温升高超过内部限制时，过热保护强制输出进入高阻抗状态，并通过电阻 $R_L$ 将输出拉至接地。如果依旧存在导致过大功耗的状况，放大器将在关断和启用状态之间振荡，直到输出故障得到纠正。

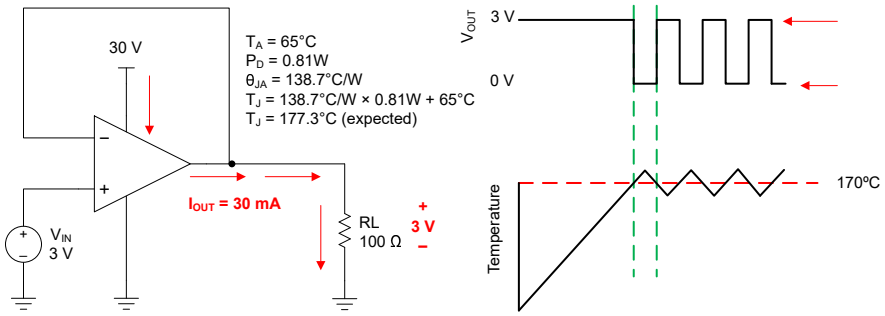


**图 6-4. 过热保护**

如果该器件在很长一段时间内以高输出功率继续在高结温下运行，无论该器件是否进入热关断状态，该器件的热耗散都会缓慢降低器件的性能并最终导致灾难性损坏。设计人员应小心地在高温下限制该器件的输出功率，或在高输出功率条件下控制环境和结温。

### 6.3.4 容性负载和稳定性

OPAx991-EP 具有电阻输出级，能够驱动中等电容负载，并且通过采用隔离电阻器，还可以轻松配置为用于驱动大电容负载。增加增益可增强放大器驱动更大容性负载的能力；请参阅图 6-5 和图 6-6。在确定放大器是否将稳定运行时，需要考虑一些因素，如特定的运算放大器电路配置、布局、增益和输出负载等。

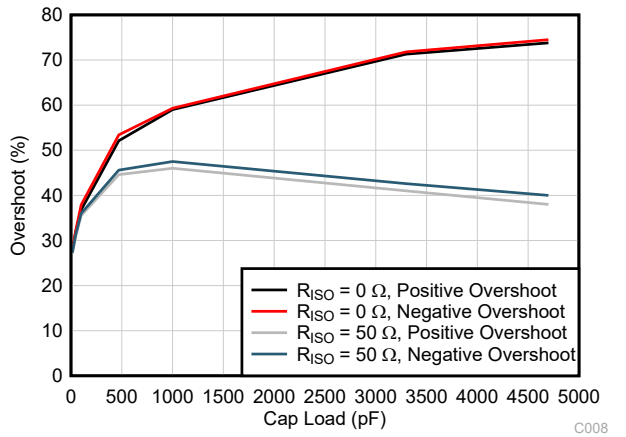


**图 6-5. 小信号过冲与容性负载间的关系（10mV 输出阶跃，G = 1）**

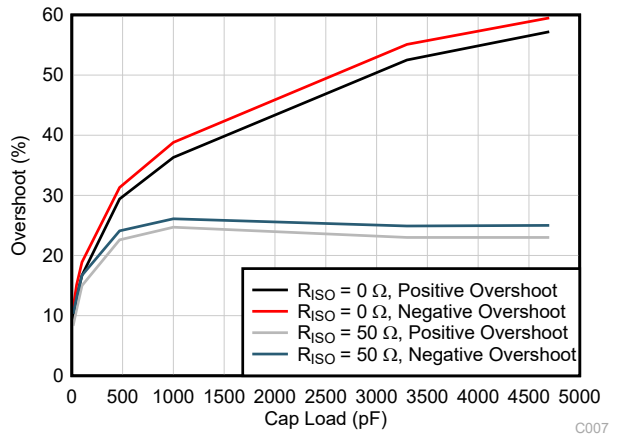


**图 6-6. 小信号过冲与容性负载间的关系（10mV 输出阶跃，G = -1）**

为了在单位增益配置中获得额外的驱动能力，通过在输出中串联一个小电阻器 $R_{ISO}$ 来提高容性负载驱动能力，如图 6-7 中所示。此电阻器可显著减少振铃，并保持纯容性负载的直流性能。但是，如果电阻负载与容性负载并联，则会产生一个电压分压器，从而在输出端引入增益误差并略微减小输出摆幅。引入的误差与 $R_{ISO}$ / $R_L$ 的比率

Copyright © 2026 Texas Instruments Incorporated

成正比，在低输出电平下通常可忽略不计。高电容负载驱动使 OPAx991-EP 非常适合于基准缓冲器、MOSFET 栅极驱动器和电缆屏蔽驱动器等应用。图 6-7 中所示的电路采用隔离电阻器 $R_{ISO}$ 来稳定运算放大器的输出。$R_{ISO}$ 修改了系统的开环增益，因而能够带来更高的相位裕度。

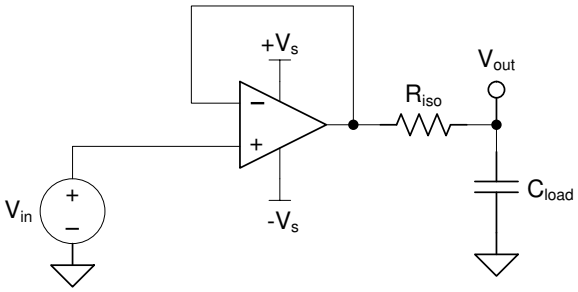


**图 6-7. 使用 OPAx991-EP 扩展电容负载驱动**


Copyright © 2026 Texas Instruments Incorporated

### 6.3.5 共模电压范围

OPAx991-EP 是一款 40V 的真正轨到轨输入运算放大器，其输入共模范围可扩展至超出任一电源轨 100mV。此宽范围通过并联互补的 N 沟道和 P 沟道差分输入对实现的，如图 6-8 所示。当输入电压接近正电源轨，通常比正电源高 (V+) – 1V 到 100mV 时，N 沟道对有效。当输入电压为低于负电源电压 100mV 到大约 (V+) – 2V 时，P 沟道对有效。其转换区域较小，通常为 (V+) – 2V to (V+) – 1V，这时两个输入对都处于开启状态。此转换区域可随着过程变化而适度的变化，在该区域内 PSRR、CMRR、失调电压、失调漂移、噪声和 THD 性能可能会比在该区域外操作时有所下降。

图 5-5 更详细地显示了典型器件在输入电压失调方面的转换区域。

有关共模电压范围和 PMOS/NMOS 对相互作用的更多信息，请参阅*具有互补对输入级的运算放大器* 应用手册。

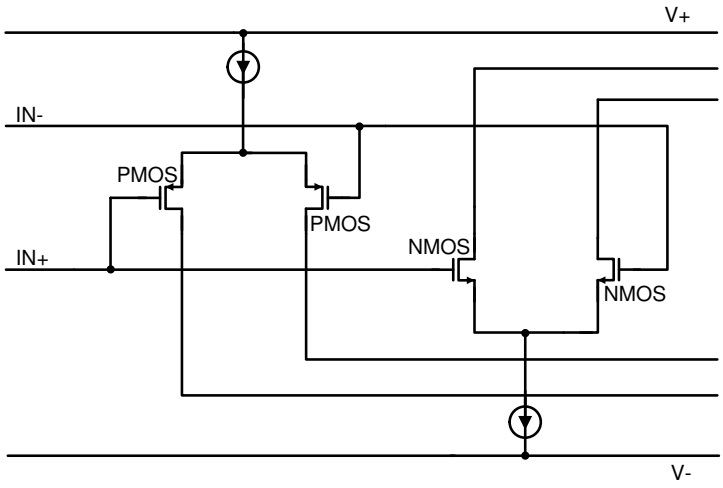


**图 6-8. 轨到轨输入级**

### 6.3.6 反相保护

OPAx991-EP 系列具有内部相位反转保护功能。当输入被驱动至超过其线性共模范围时，很多运算放大器都会出现相位反转。这种情况在同相电路中最常见，当输入被驱动至超过指定的共模电压范围时，导致输出反向到相对的电源轨上。OPAx991-EP 是一款轨到轨输入运算放大器；因此，共模范围可扩展至超出电源轨。电源轨之外的输入信号不会导致相位反转；相反，输出限制在适当的电源轨中。图 6-9 中展示了该特性。有关相位反转的更多信息，请参阅*具有互补对输入级的运算放大器*应用手册。

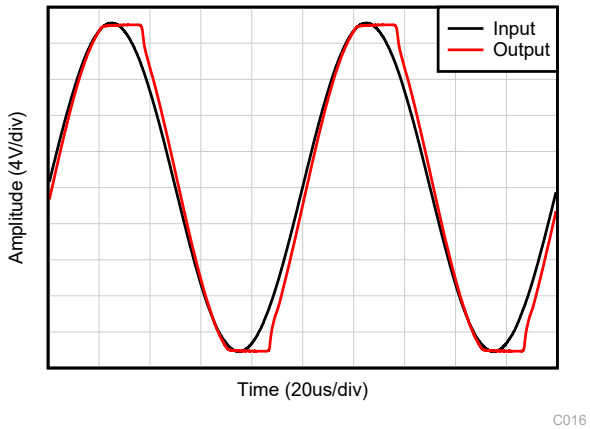


**图 6-9. 无相位反转**

### 6.3.7 电过应力

设计人员常常会问到有关运算放大器承受电气过应力 (EOS) 的能力的问题。这些问题的重点在于器件输入，但同时也会涉及电源引脚甚至是输出引脚。这些不同引脚功能的每一个功能具有由独特的半导体制造工艺和连接到引脚的特定电路确定的电气过载限值。此外，这些电路均内置内部静电放电 (ESD) 保护功能，可在产品组装之前和组装过程中保护电路不受意外 ESD 事件的影响。

能够充分了解该基本 ESD 电路及其与电气过应力事件的关联性会有所帮助。图 6-10 展示了 OPAx991-EP 中包含的 ESD 电路（用虚线区域指示）。ESD 保护电路涉及从输入和输出引脚连接并路由回内部供电线路的数个导流二极管，其中二极管在吸收器件或电源 ESD 单元（运算放大器的内在部分）处相接。该保护电路在电路正常工作时处于未运行状态。

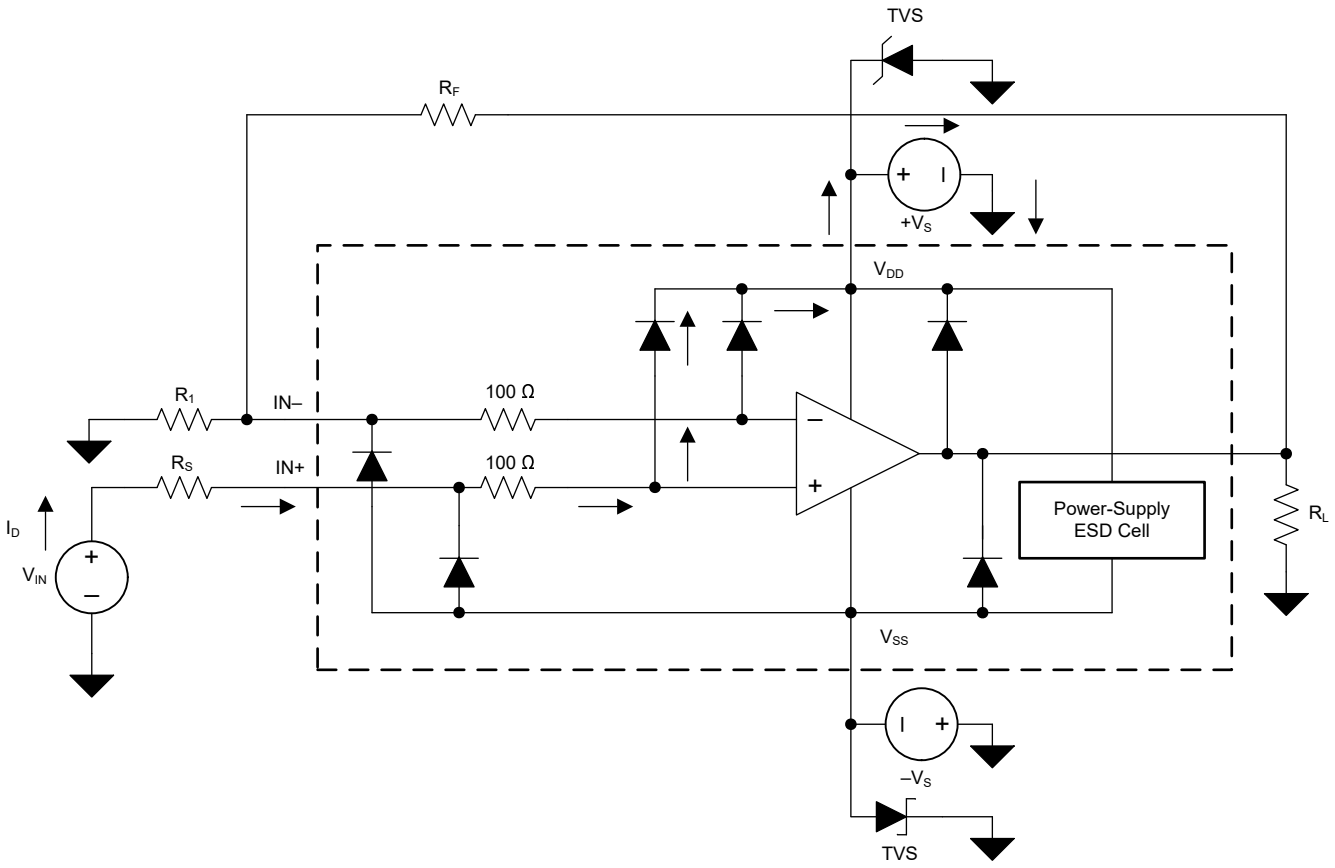


**图 6-10. 与典型电路应用相关的等效内部 ESD 电路**

ESD 事件持续时间非常短，电压非常高（例如，1kV，100ns），而 EOS 事件持续时间长，电压较低（例如，50V，100ms）。ESD 二极管设计用于电路外 ESD 保护（即在器件被焊接到 PCB 上之前的组装、测试和贮存阶段）。在 ESD 事件中，ESD 信号通过 ESD 导流二极管传递给吸收电路（列为 ESD 电源电路）。ESD 吸收电路将电源钳制在一个安全的水平。

尽管这种行为对于电路外保护来说是必要的，但如果在电路内激活，则会导致过流和损坏。瞬态电压抑制器 (TVS) 可用于防止电路内 ESD 事件中因打开 ESD 吸收电路而导致的损坏。使用适当的限流电阻和 TVS 二极管则允许使用器件 ESD 二极管来防止 EOS 事件。


Copyright © 2026 Texas Instruments Incorporated

### 6.3.8 过载恢复

过载恢复的定义是运算放大器输出从饱和状态恢复到线性状态所需的时间。当输出电压由于高输入电压或高增益而超过额定工作电压时，运算放大器的输出器件进入饱和区。器件进入饱和区后，输出器件中的电荷载体需要时间返回到线性状态。当电荷载体返回到线性状态时，器件开始以指定的压摆率进行转换。因此，过载时的传播延迟等于过载恢复时间与转换时间的总和。OPAx991-EP 的过载恢复时间约为 400ns。

### 6.3.9 典型规格与分布

设计人员经常会对放大器的典型规格提出质疑，以便设计出更稳健的电路。由于工艺技术和制造过程上存在自然差异，因此放大器的每种规格都与理想值存在一定的偏差，例如放大器的输入失调电压。这些偏差通常遵循*高斯*（“钟形曲线”）或*正态*分布，即使*电气特性*表格中没有最小值或最大值规格，电路设计人员也可以利用此信息来确定其系统的限值空间。

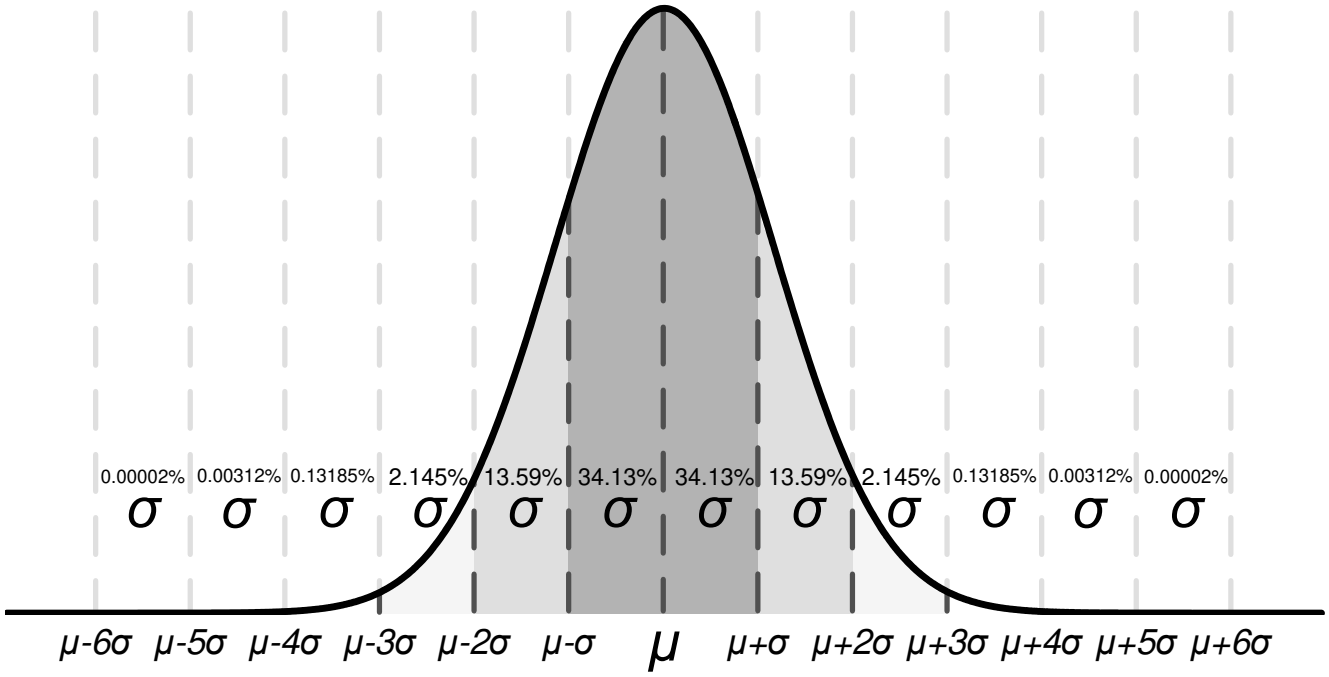


**图 6-11. 理想的高斯分布**

图 6-11 展示了一个分布示例，其中 *μ* 或 *mu* 是分布的均值，而 *σ* 或 *sigma* 是系统的标准偏差。对于表现出这种分布的规格，可以预期所有器件中大约三分之二 (68.26%) 的值落在均值的一个标准差（即 1σ）内（从 *μ* – *σ* 到 *μ* + *σ*）。

根据具体规格，*电气特性*表中*典型值*一列中列出的值会以多种不同的方式表示。根据一般的经验法则，如果规格本身具有非零平均值（例如增益带宽），那么典型值等于平均值 (μ)。然而，如果规格本身具有接近于零（例如输入失调电压）的均值，那么典型值等于均值加上一个标准偏差 (μ + σ)，这样才能最为准确地表示典型值。

您可以使用该图表来计算器件中某个规格的近似概率；例如，对于 OPAx991-EP，典型的输入失调电压值为 125μV，因此所有 OPAx991-EP 器件中有 68.2% 的器件预计都具有 –125μV 至 125μV 的失调电压。在 4σ (±500μV) 条件下，分布的 99.9937% 都具有小于 ±500μV 的失调电压，这意味着总体的 0.0063% 位于这些限值之外，相当于 15,873 个器件有 1 个器件超出该限值。

在最小值或最大值列中具有值的规格由 TI 指定，超过这些限值的器件将从生产材料中剔除。例如，OPAx991-EP 系列在 25°C 条件下的最大失调电压为 895μV，尽管这相当于大于 5σ（约为 170 万个器件中有 1 个器件，这种可能性微乎其微），但 TI 会从生产材料中剔除失调电压大于 895μV 的任何器件。

Copyright © 2026 Texas Instruments Incorporated

对于最小值或最大值列中没有值的规格，可考虑为应用选择 1σ 值的足够限值空间，并使用该值来设计最差情况下的电路。例如，6σ 值相当于大约 5 亿分之 1 的单位，这种情况极不可能，并可以作为一个宽保护空间选项来设计系统。在这种情况下，OPAx991-EP 系列并未规定失调电压漂移的最大值或最小值，但根据图 5-2 以及*电气特性* 中 0.3μV/°C 的典型值计算，失调电压漂移的 6σ 值约为 1.8μV/°C。在为最坏情况系统条件进行设计时，在没有实际最小值或最大值的情况下，可使用该值来估算整个温度范围内的最坏可能偏移。

然而，随着时间的推移，工艺差异和调整会改变典型的均值和标准偏差，除非最小值或最大值规格列中给出了值，否则 TI 无法明确器件的性能。此信息应该只能用于估算器件的性能。

## 6.4 器件功能模式

OPAx991-EP 具有单一功能模式，可在电源电压大于 2.7V (±1.35V) 时正常工作。OPAx991-EP 的最大电源电压为 40V (±20V)。


Copyright © 2026 Texas Instruments Incorporated

# 7 应用和实施

**备注**

以下应用部分中的信息不属于 TI 元件规格，TI 不担保其准确性和完整性。TI 的客户负责确定元件是否适合其用途，以及验证和测试其设计实现以确认系统功能。

## 7.1 应用信息

OPAx991-EP 系列提供了出色的直流精度和交流性能。这些器件的工作电压高达 40V，并提供真正的轨到轨输入/输出、低失调电压、失调电压漂移以及 4.5MHz 带宽和高输出驱动。这些特性使 OPAx991-EP 成为一款适用于高电压工业应用且稳定可靠的高性能运算放大器。

### *7.1.1 压摆增强*

OPAx991-EP 系列采用转换率增强架构，可加快从大幅输入阶跃中恢复的速度。器件输出的变化率根据差动输入电压 ($V_{ID}$) 进行调节，从而形成三种不同的工作模式：微小信号或线性区域、自然转换区域以及转换率增强区域。因此，器件的有效转换率是输入信号的函数，而非具有固定特性。在大信号输入阶跃期间，当输入端保持较大压差 ($V_{ID}$ > 150mV) 时，输出通常呈现快速上升沿；随后，当输入电压相互接近 ($V_{ID}$ < 150mV) 时，器件输出的变化率下降，输出趋于稳定。

请注意，在特定应用中，放大器输出的变化率取决于电路配置、寄生参数及其他因素。以下数据反映的是器件的开环阶跃响应，而*电气特性*中规定的值描述的是典型电路实现中所预期的闭环阶跃响应。

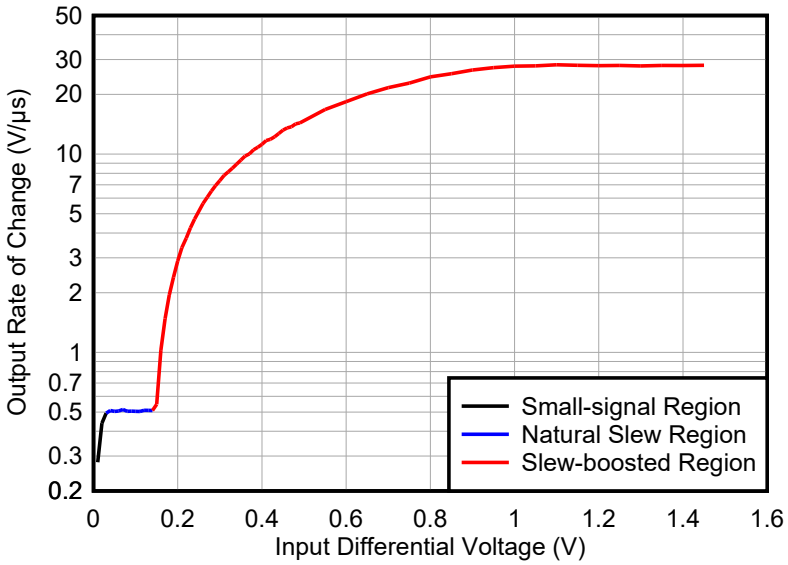


**图 7-1. OPAx991-EP 的输出变化率与输入差动电压间的关系**

当放大器进入转换状态时，在内部米勒电容充电期间，静态电流通常会略有增加。当 OPAx991-EP 的输出转换率增强电路被激活时，米勒电容的充电速率会“得到增强”，电源电流会暂时升高，如图 7-2 中所示。对于输入端被拉开且转换率增强功能被激活的应用和用例，在进行功耗预算时必须考虑这一更高的电源电流。

Copyright © 2026 Texas Instruments Incorporated

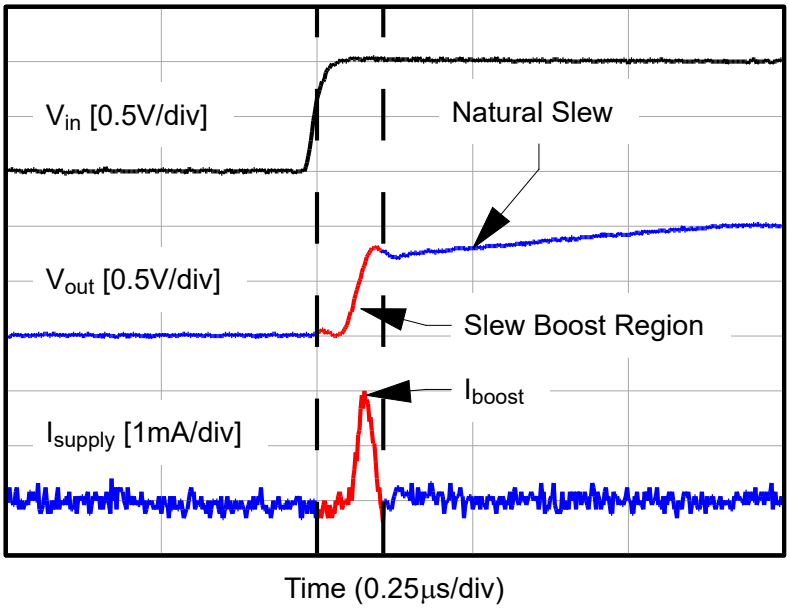


**图 7-2. OPAx991-EP 的大信号阶跃响应特性**

器件的全功率带宽 (FPBW) 曲线描述了在给定频率下，放大器能够在不产生明显可见失真的情况下复现的最大峰峰值电压 ($V_{PP}$)。当输入为纯正弦波信号时，在全功率带宽曲线范围内工作可获得视觉上无明显失真的输出；而超出全功率带宽边界后，则会因压摆率限制而产生明显失真的三角波输出。这种输出失真称为压摆率导致的失真。

由于器件的转换率根据差动输入电压 ($V_{ID}$) 进行调节，OPAx991-EP 呈现出两个不同的转换率受限 FPBW 边界：一个对应转换率增强工作模式，另一个对应自然转换区。请注意，当超过自然 FPBW 时，预期的总计谐波失真 (THD) 会增加。为降低转换引起的失真，建议在自然 FPBW 曲线范围内工作。

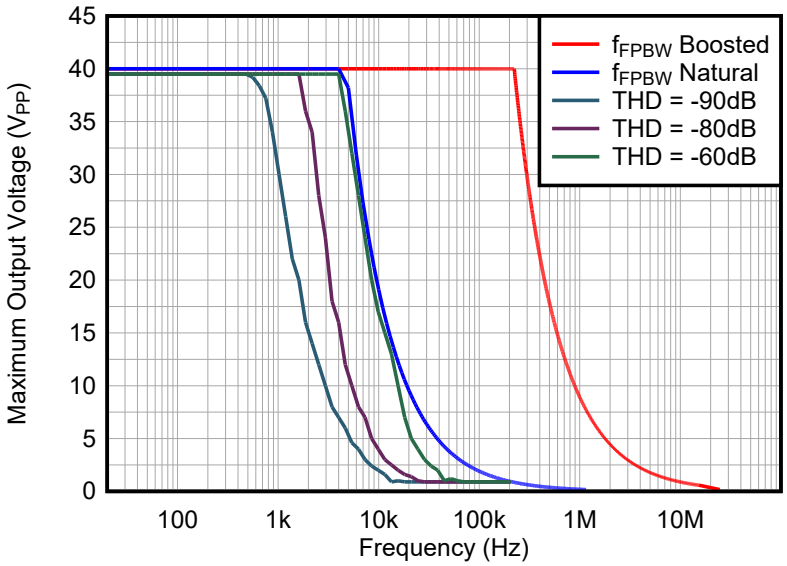


**图 7-3. OPAx991-EP 在自然转换和增强转换下的最大输出电压与频率间的关系**

有关转换率增强架构及其对 THD 相关影响的详细讨论（包括 OPAx991 系列的实测数据），请参阅*全功率带宽与运算放大器失真*应用报告。


Copyright © 2026 Texas Instruments Incorporated

## 7.2 典型应用

### *7.2.1 低侧电流测量*

图 7-4 展示了低侧电流检测应用中配置的 OPAx991-EP。有关图 7-4 中所示电路的全面分析，包括理论、计算、模拟和测量数据，请参阅 TI 精密设计 TIPD129 *0A 至 1A 单电源低侧电流检测解决方案*。

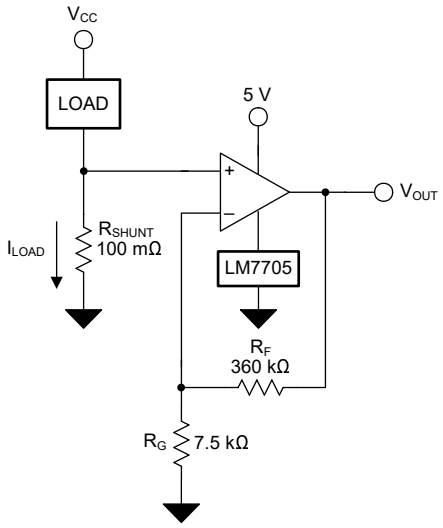


**图 7-4. 低侧电流检测应用中的 OPAx991-EP**

#### 7.2.1.1 设计要求

此设计的设计要求如下：

- 负载电流：0A 至 1A
- 输出电压：4.9V
- 最大并联电压：100mV

#### 7.2.1.2 详细设计过程

方程式 1 提供了图 7-4 中的电路传递函数。

$$V_{OUT} = I_{LOAD} \times R_{SHUNT} \times Gain \tag{1}$$

负载电流 ($I_{LOAD}$) 在分流电阻器 ($R_{SHUNT}$) 上产生压降。负载电流设置为 0A 至 1A。为了在最大负载电流下保持分流电压低于 100mV，使用方程式 2 定义了最大分流电阻。

$$R_{SHUNT} = \frac{V_{SHUNT_MAX}}{I_{LOAD_MAX}} = \frac{100mV}{1A} = 100m\Omega \tag{2}$$

使用方程式 2 计算出的 $R_{SHUNT}$ 为 100mΩ。$I_{LOAD}$ 和 $R_{SHUNT}$ 产生的压降由 OPAx991-EP 放大，从而产生 0V 至 4.9V 的输出电压。OPAx991-EP 产生必要输出电压时所需的增益根据方程式 3 算出。

$$Gain = \frac{\left(V_{OUT_MAX} - V_{OUT_MIN}\right)}{\left(V_{IN_MAX} - V_{IN_MIN}\right)} \tag{3}$$

使用方程式 3 计算出的所需增益为 49V/V，该值由电阻器 $R_F$ 和 $R_G$ 设置。方程式 4 用于调整电阻器 $R_F$ 和 $R_G$ 的大小，从而将 OPAx991-EP 的增益设置为 49V/V。

$$Gain = 1 + \frac{\left(R_F\right)}{\left(R_G\right)} \tag{4}$$

将 $R_F$ 选为 360kΩ 时，$R_G$ 计算得出为 7.5kΩ。$R_F$ 和 $R_G$ 被选定为 360kΩ 和 7.5kΩ，因为这两个是标准值电阻器，可产生 49:1 的比率。也可以使用可产生 49:1 的比率的其他电阻器。图 7-5 展示了图 7-4 中所示电路测得的传递函数。

#### 7.2.1.3 应用曲线

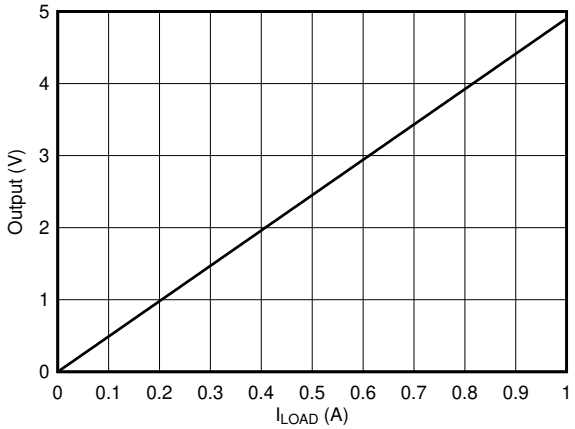


**图 7-5. 低侧电流检测传递函数**

## 7.3 电源相关建议

OPAx991-EP 的指定工作电压为 2.7V 至 40V（±1.35V 至 ±40V）；多种规格适用于 –55°C 至 125°C 的温度范围。*典型特性* 中介绍了可能会随工作电压或温度的变化而显著变化的参数。


Copyright © 2026 Texas Instruments Incorporated

**小心**

电源电压超过 40 V 会对器件造成损坏；请参阅*绝对最大额定值*。

将 0.1µF 旁路电容器置于电源引脚附近，以减少来自高噪声电源或高阻抗电源的耦合误差。更多有关旁路电容器放置的详细信息，请参阅*布局*。

## 7.4 布局

### *7.4.1 布局指南*

为了实现器件的出色工作性能，请采用良好的 PCB 布局实践，包括：

- 噪声可以通过整个电路的电源引脚和运算放大器本身传入模拟电路中。旁路电容用于通过为局部模拟电路提供低阻抗电源，以降低耦合噪声。
  - 在每个电源引脚和接地端之间连接低等效串联电阻 (ESR) 0.1µF 陶瓷旁路电容器，并尽量靠近器件放置。针对单电源应用，V+ 与接地端之间可以接入单个旁路电容器。
- 将电路中的模拟部分和数字部分单独接地是最简单、最有效的噪声抑制方法之一。多层 PCB 上的一层或多层通常专门用于作为接地平面。接地平面有助于散热和减少 EMI 噪声拾取。确保对数字接地和模拟接地进行物理隔离，同时应注意接地电流的流动。
- 为了减少寄生耦合，输入走线运行时应尽量远离电源或输出走线。如果这些走线无法分开，将敏感走线与噪声走线垂直交叉，而非平行布设，效果要好得多。
- 外部元件应尽量靠近器件放置。如图 7-7 所示，保持 RF 和 RG 接近反相输入可以更大限度地减少寄生电容。
- 尽可能缩短输入走线的长度。切记，输入布线是电路中最敏感的部分。
- 考虑在关键布线周围设定驱动型低阻抗保护环。这样可显著减少附近布线在不同电势下产生的漏电流。
- 为获得卓越性能，建议在组装 PCB 板后进行清洁。
- 任何精密集成电路都可能因湿气渗入塑料封装中而出现性能变化。在执行任何 PCB 水清洁流程之后，建议将 PCB 组件烘干，以去除清洁时渗入器件封装中的水分。大多数情形下，清洁后在 85°C 下低温烘干 30 分钟即可。

Copyright © 2026 Texas Instruments Incorporated

### 7.4.2 布局示例

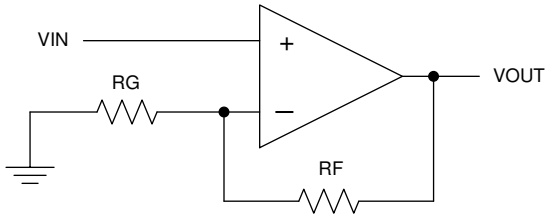


图 7-6. 原理图表示

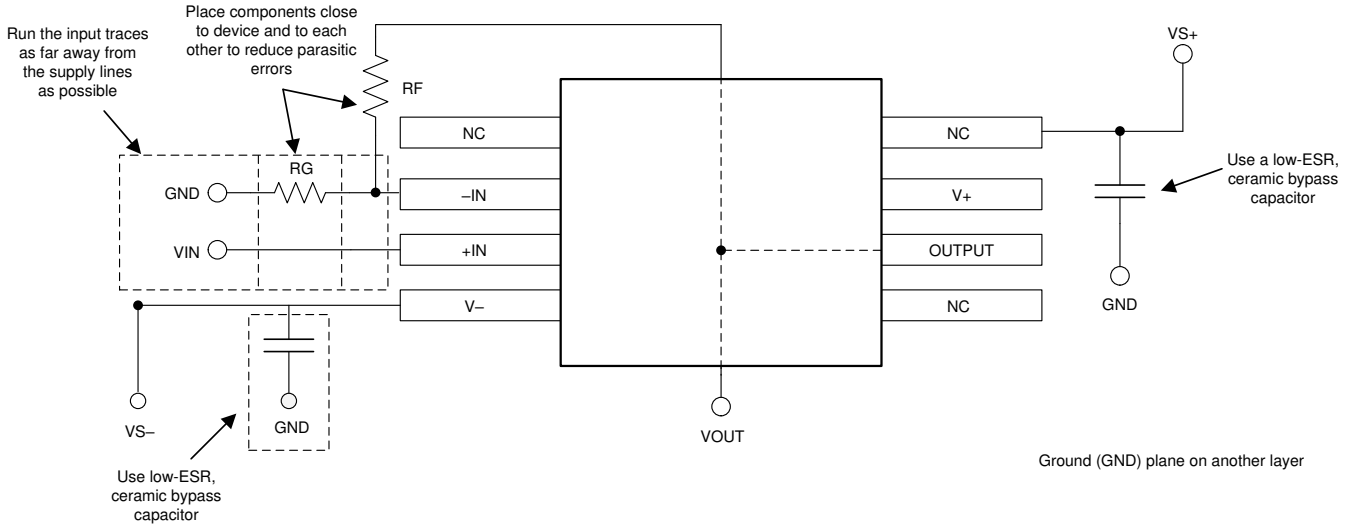


图 7-7. 同相配置的运算放大器电路板布局


Copyright © 2026 Texas Instruments Incorporated

# 8 器件和文档支持

## 8.1 器件支持

### *8.1.1 开发支持*

#### 8.1.1.1 TINA-TI™（免费软件下载）

TINA™ 是一款基于 SPICE 引擎的 简单、功能强大且易于使用的电路仿真程序。TINA-TI 是 TINA 软件的一款免费全功能版本，除了一系列无源和有源模型外，此版本软件还预先载入了一个宏模型库。TINA-TI 提供所有传统的 SPICE 直流、瞬态和频域分析，以及其他设计功能。

TINA-TI 可通过模拟电子实验室设计中心免费下载，该软件提供了丰富的后处理能力，允许用户以各种方式格式化结果。虚拟仪器提供选择输入波形和探测电路节点、电压以及波形的能力，从而构建一个动态的快速启动工具。

**备注**

这些文件要求安装 TINA 软件（从 DesignSoft™）或者 TINA-TI 软件。请从 TINA-TI 文件夹中下载免费的 TINA-TI 软件。

## 8.2 文档支持

### *8.2.1 相关文档*

如要查看相关文件，请参阅以下内容：

德州仪器 (TI)，*模拟工程师电路设计指导手册：放大器* 解决方案指南

德州仪器 (TI)，*AN31 放大器电路集合* 应用手册

德州仪器 (TI)，*支持多路复用器的精密运算放大器* 应用简报

德州仪器 (TI)，*运算放大器的 EMI 抑制比* 应用报告

德州仪器 (TI)，*具有互补对输入级的运算放大器* 应用手册

## 8.3 接收文档更新通知

要接收文档更新通知，请导航至 ti.com 上的器件产品文件夹。点击*通知* 进行注册，即可每周接收产品信息更改摘要。有关更改的详细信息，请查看任何已修订文档中包含的修订历史记录。

## 8.4 支持资源

TI E2E™ 中文支持论坛是工程师的重要参考资料，可直接从专家处获得快速、经过验证的解答和设计帮助。搜索现有解答或提出自己的问题，获得所需的快速设计帮助。

链接的内容由各个贡献者“按原样”提供。这些内容并不构成 TI 技术规范，并且不一定反映 TI 的观点；请参阅 TI 的使用条款。

## 8.5 商标

TINA-TI™ is a trademark of Texas Instruments, Inc and DesignSoft, Inc.
TINA™ and DesignSoft™ are trademarks of DesignSoft, Inc.
TI E2E™ is a trademark of Texas Instruments.
Bluetooth® is a registered trademark of Bluetooth SIG, Inc.
所有商标均为其各自所有者的财产。

## 8.6 静电放电警告



静电放电 (ESD) 会损坏这个集成电路。德州仪器 (TI) 建议通过适当的预防措施处理所有集成电路。如果不遵守正确的处理和安装程序，可能会损坏集成电路。

ESD 的损坏小至导致微小的性能降级，大至整个器件故障。精密的集成电路可能更容易受到损坏，这是因为非常细微的参数更改都可能会导致器件与其发布的规格不相符。

Copyright © 2026 Texas Instruments Incorporated

### 8.7 术语表

TI 术语表　　本术语表列出并解释了术语、首字母缩略词和定义。

## 9 修订历史记录

注：以前版本的页码可能与当前版本的页码不同

**Changes from Revision B (November 2022) to Revision C (September 2026)** **Page**

- 将*特性* 和*说明* 中转换率的措辞更改为“高*峰值* 转换率”，并将*特性* 中输入的措辞从“支持多路复用器/比较器”更改为“支持多路复用器” ..... 1
- 更新了*特性* 和*输入保护电路* 中输入结构的说明 ..... 1
- 在*封装信息* 表和整个文档中添加了采用 DBV 封装的单通道 OPA991-EP ..... 1
- 在 *ESD 等级* 中添加了 OPA991-EP ..... 6
- 在*热性能信息* 中添加了 OPA991-EP (DBV) ..... 6
- 在转换率规格中添加了 $V_{ID}$ > 150mV 的条件，并添加了 20mV < $V_{ID}$ < 150mV 的条件 ..... 7
- 更改了图 6-26 和 6-39 ..... 9
- 添加了*转换率增强* 部分，其中讨论了自然转换和转换增强条件下的器件转换率 ..... 25

**Changes from Revision A (August 2022) to Revision B (November 2022)** **Page**

- 更新了热阻值 ..... 6
- 将最大输出电压摆幅（$V_S$ = 40V，$R_L$ = 10kΩ）从 55mV 提高至 70mV ..... 7

**Changes from Revision * (June 2022) to Revision A (August 2022)** **Page**

- 将器件状态从*预告信息* 更改为*量产数据* ..... 1
- 删除了*器件信息* 表中 SOT-23 (14) 封装的预发布说明 ..... 1


Copyright © 2026 Texas Instruments Incorporated

# 10 机械、封装和可订购信息

以下页面包含机械、封装和可订购信息。这些信息是指定器件可用的最新数据。数据如有变更，恕不另行通知，且不会对此文档进行修订。有关此数据表的浏览器版本，请查阅左侧的导航栏。

Copyright © 2026 Texas Instruments Incorporated

## PACKAGING INFORMATION

| Orderable part number | Status (1) | Material type (2) | Package \| Pins | Package qty \| Carrier | RoHS (3) | Lead finish/ Ball material (4) | MSL rating/ Peak reflow (5) | Op temp (°C) | Part marking (6) |
|---|---|---|---|---|---|---|---|---|---|
| OPA4991MDYYREP | Active | Production | SOT-23-THIN (DYY) \| 14 | 3000 \| LARGE T&R | Yes | NIPDAU | Level-1-260C-UNLIM | -55 to 125 | OPA4991EP |
| OPA4991MDYYREP.A | Active | Production | SOT-23-THIN (DYY) \| 14 | 3000 \| LARGE T&R | Yes | NIPDAU | Level-1-260C-UNLIM | -55 to 125 | OPA4991EP |
| POPA991MDBVREP | Active | Preproduction | SOT-23 (DBV) \| 5 | 3000 \| LARGE T&R | - | Call TI | Call TI | -55 to 125 | |
| V62/21615-01XE | Active | Production | SOT-23-THIN (DYY) \| 14 | 3000 \| LARGE T&R | Yes | NIPDAU | Level-1-260C-UNLIM | See OPA4991MDYYREP | OPA4991EP |

(1) **Status:** For more details on status, see our product life cycle.

(2) **Material type:** When designated, preproduction parts are prototypes/experimental devices, and are not yet approved or released for full production. Testing and final process, including without limitation quality assurance, reliability performance testing, and/or process qualification, may not yet be complete, and this item is subject to further changes or possible discontinuation. If available for ordering, purchases will be subject to an additional waiver at checkout, and are intended for early internal evaluation purposes only. These items are sold without warranties of any kind.

(3) **RoHS values:** Yes, No, RoHS Exempt. See the TI RoHS Statement for additional information and value definition.

(4) **Lead finish/Ball material:** Parts may have multiple material finish options. Finish options are separated by a vertical ruled line. Lead finish/Ball material values may wrap to two lines if the finish value exceeds the maximum column width.

(5) **MSL rating/Peak reflow:** The moisture sensitivity level ratings and peak solder (reflow) temperatures. In the event that a part has multiple moisture sensitivity ratings, only the lowest level per JEDEC standards is shown. Refer to the shipping label for the actual reflow temperature that will be used to mount the part to the printed circuit board.

(6) **Part marking:** There may be an additional marking, which relates to the logo, the lot trace code information, or the environmental category of the part.

Multiple part markings will be inside parentheses. Only one part marking contained in parentheses and separated by a "~" will appear on a part. If a line is indented then it is a continuation of the previous line and the two combined represent the entire part marking for that device.

**Important Information and Disclaimer:**The information provided on this page represents TI's knowledge and belief as of the date that it is provided. TI bases its knowledge and belief on information provided by third parties, and makes no representation or warranty as to the accuracy of such information. Efforts are underway to better integrate information from third parties. TI has taken and continues to take reasonable steps to provide representative and accurate information but may not have conducted destructive testing or chemical analysis on incoming materials and chemicals. TI and TI suppliers consider certain information to be proprietary, and thus CAS numbers and other limited information may not be available for release.

In no event shall TI's liability arising out of such information exceed the total purchase price of the TI part(s) at issue in this document sold by TI to Customer on an annual basis.

**OTHER QUALIFIED VERSIONS OF OPA4991-EP, OPA991-EP :**

- Catalog : OPA4991, OPA991
- Automotive : OPA4991-Q1, OPA991-Q1

NOTE: Qualified Version Definitions:

- Catalog - TI's standard catalog product
- Automotive - Q100 devices qualified for high-reliability automotive applications targeting zero defects

## TAPE AND REEL INFORMATION

**REEL DIMENSIONS**

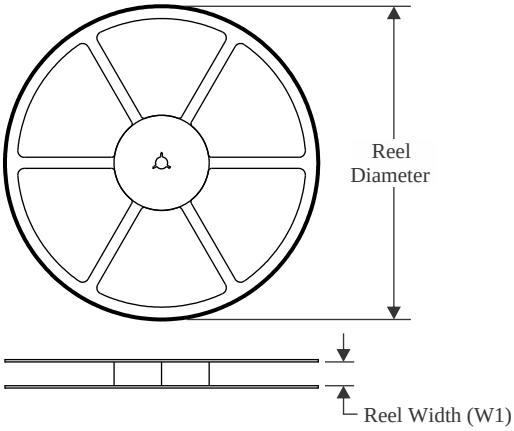


**TAPE DIMENSIONS**

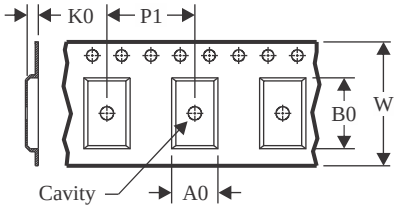


| | |
|---|---|
| A0 | Dimension designed to accommodate the component width |
| B0 | Dimension designed to accommodate the component length |
| K0 | Dimension designed to accommodate the component thickness |
| W | Overall width of the carrier tape |
| P1 | Pitch between successive cavity centers |

**QUADRANT ASSIGNMENTS FOR PIN 1 ORIENTATION IN TAPE**

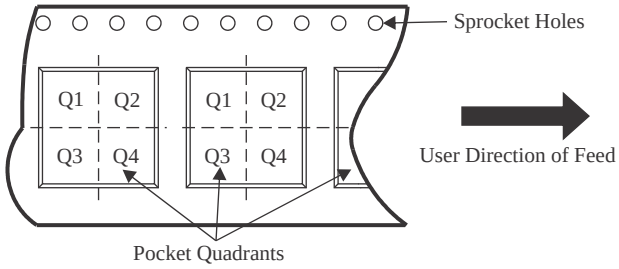


*All dimensions are nominal

| Device | Package Type | Package Drawing | Pins | SPQ | Reel Diameter (mm) | Reel Width W1 (mm) | A0 (mm) | B0 (mm) | K0 (mm) | P1 (mm) | W (mm) | Pin1 Quadrant |
|---|---|---|---|---|---|---|---|---|---|---|---|---|
| OPA4991MDYYREP | SOT-23-THIN | DYY | 14 | 3000 | 330.0 | 12.4 | 4.8 | 3.6 | 1.6 | 8.0 | 12.0 | Q3 |

TAPE AND REEL BOX DIMENSIONS

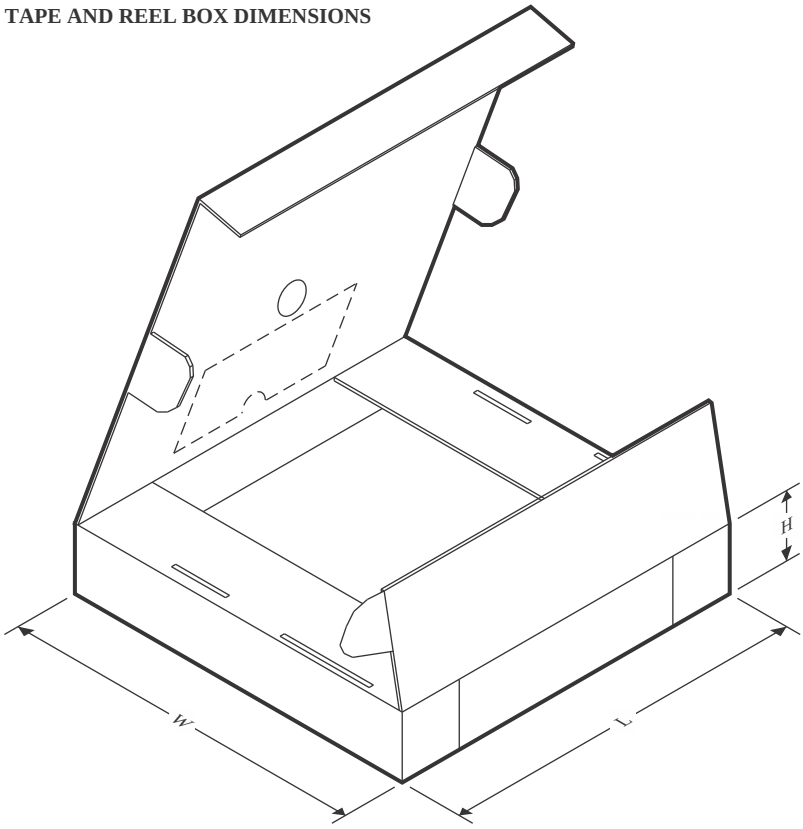


*All dimensions are nominal

| Device | Package Type | Package Drawing | Pins | SPQ | Length (mm) | Width (mm) | Height (mm) |
|---|---|---|---|---|---|---|---|
| OPA4991MDYYREP | SOT-23-THIN | DYY | 14 | 3000 | 336.6 | 336.6 | 31.8 |

# PACKAGE OUTLINE

## DBV0005A

## SOT-23 - 1.45 mm max height

SMALL OUTLINE TRANSISTOR

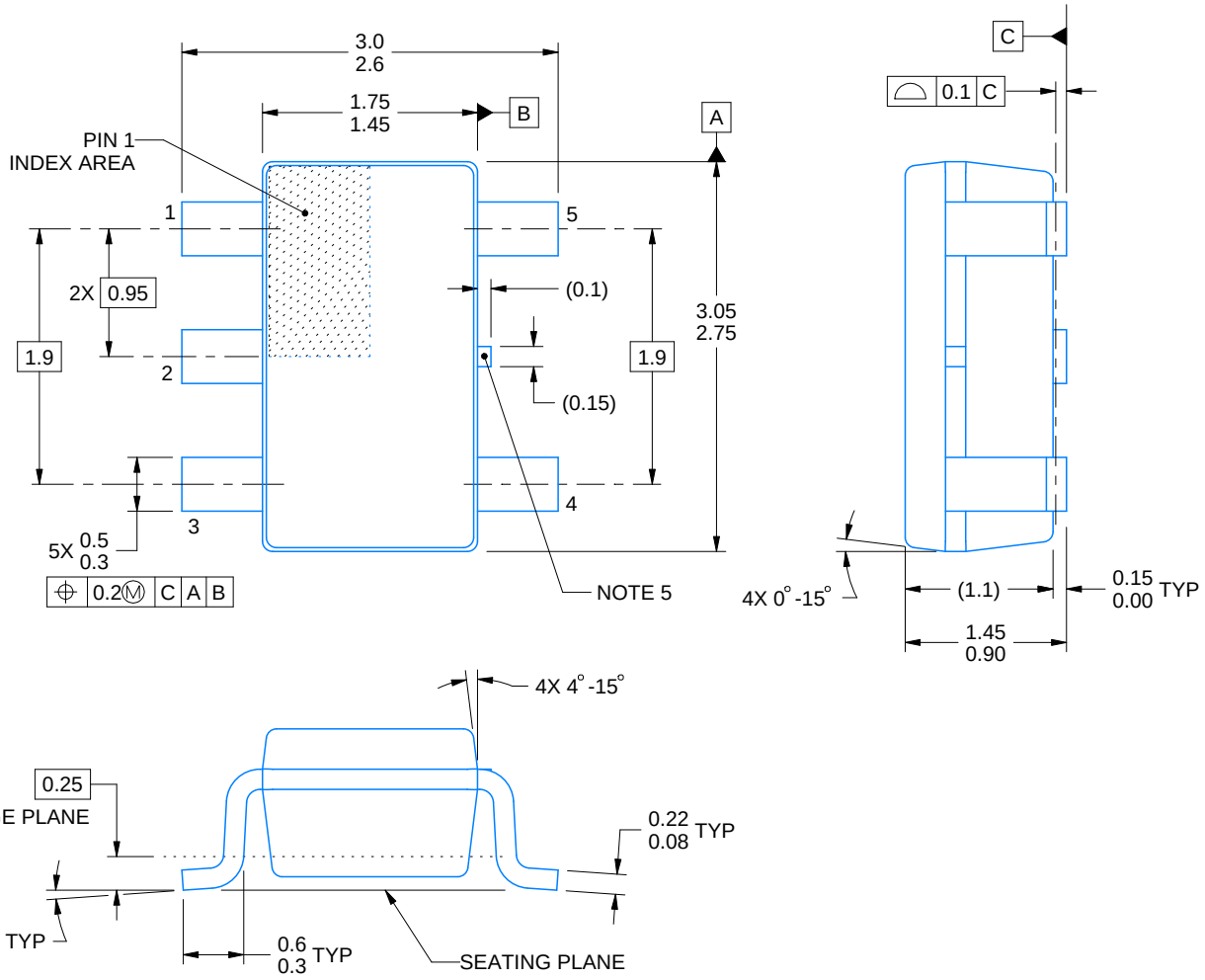


4214839/K 08/2024

NOTES:

1. All linear dimensions are in millimeters. Any dimensions in parenthesis are for reference only. Dimensioning and tolerancing per ASME Y14.5M.
2. This drawing is subject to change without notice.
3. Refernce JEDEC MO-178.
4. Body dimensions do not include mold flash, protrusions, or gate burrs. Mold flash, protrusions, or gate burrs shall not exceed 0.25 mm per side.
5. Support pin may differ or may not be present.

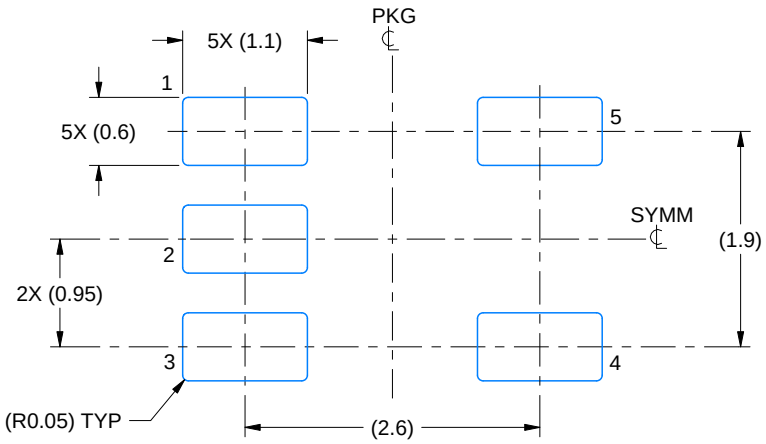


LAND PATTERN EXAMPLE
EXPOSED METAL SHOWN
SCALE:15X

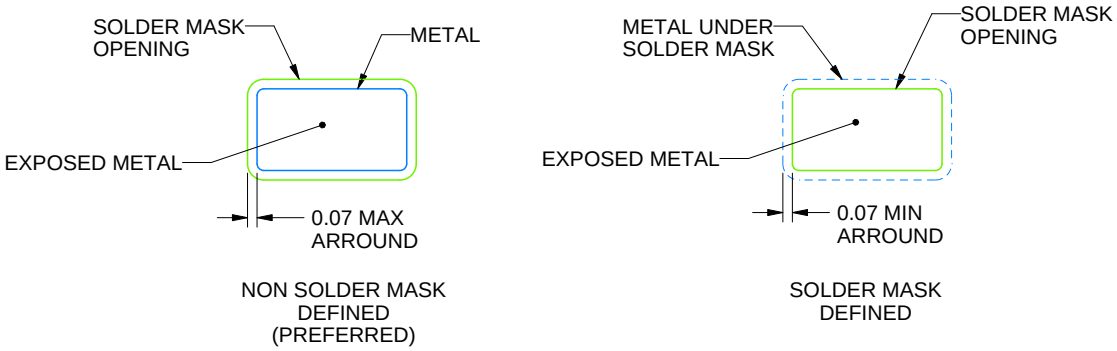


SOLDER MASK DETAILS

4214839/K 08/2024

NOTES: (continued)

6. Publication IPC-7351 may have alternate designs.
7. Solder mask tolerances between and around signal pads can vary based on board fabrication site.

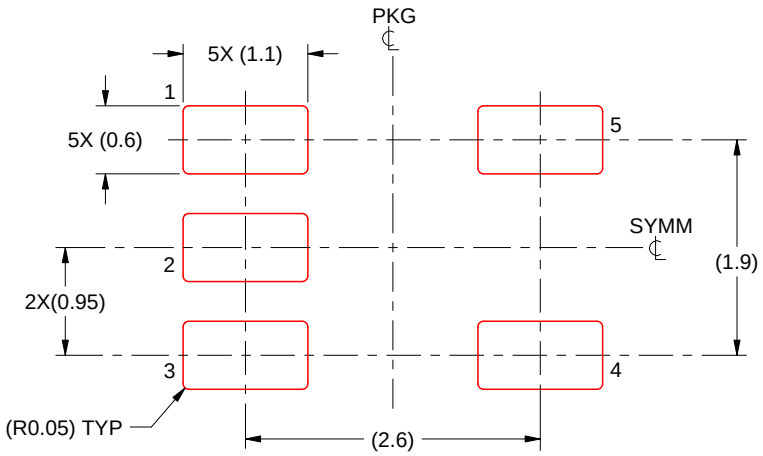


SOLDER PASTE EXAMPLE
BASED ON 0.125 mm THICK STENCIL
SCALE:15X

4214839/K 08/2024

NOTES: (continued)

8. Laser cutting apertures with trapezoidal walls and rounded corners may offer better paste release. IPC-7525 may have alternate design recommendations.
9. Board assembly site may have different recommendations for stencil design.

# PACKAGE OUTLINE

## DYY0014A

## SOT-23-THIN - 1.1 mm max height

PLASTIC SMALL OUTLINE

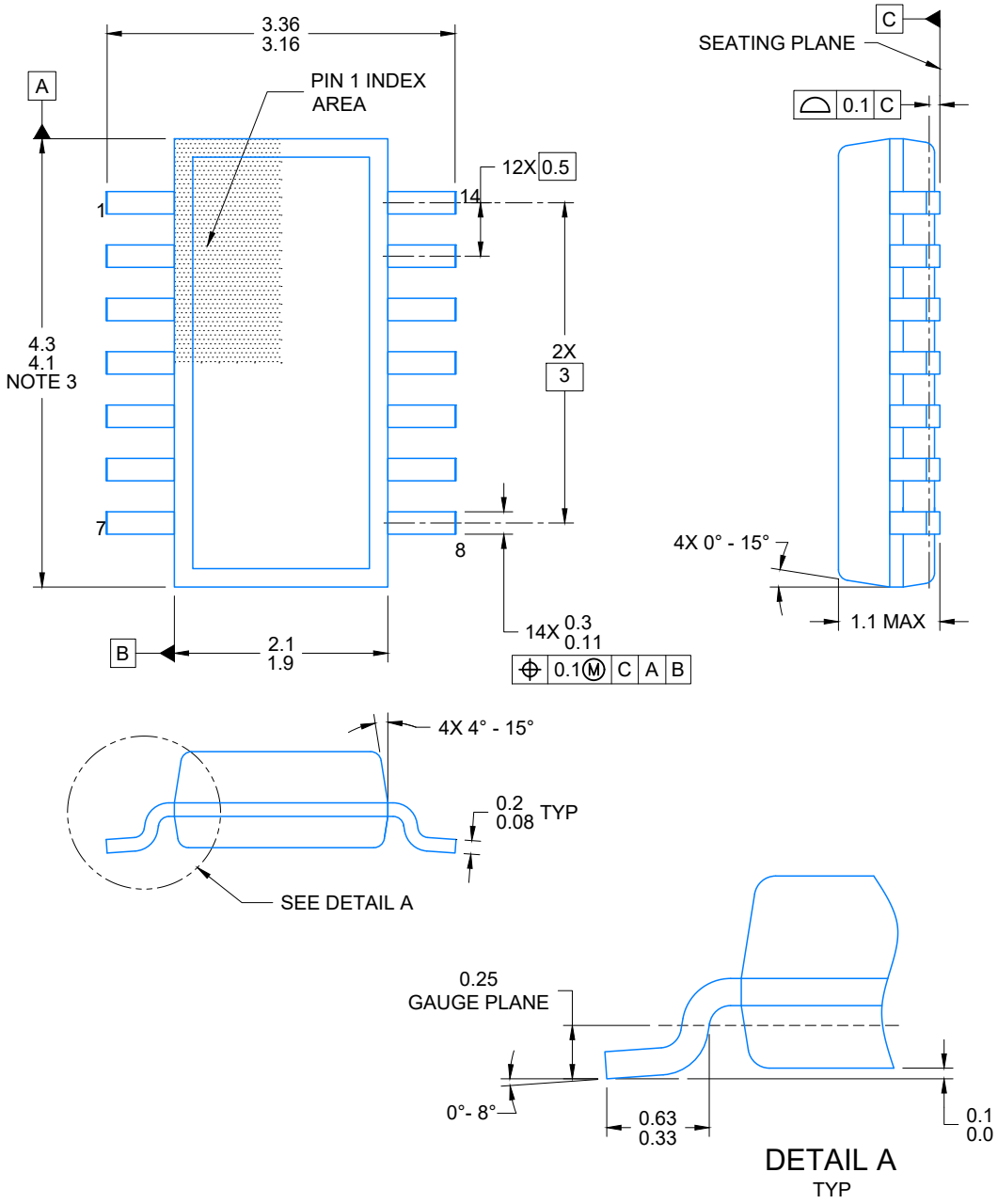


NOTES:

1. All linear dimensions are in millimeters. Any dimensions in parenthesis are for reference only. Dimensioning and tolerancing per ASME Y14.5M.
2. This drawing is subject to change without notice.
3. This dimension does not include mold flash, protrusions, or gate burrs. Mold flash, protrusions, or gate burrs shall not exceed 0.15 per side.
4. This dimension does not include interlead flash. Interlead flash shall not exceed 0.50 per side.
5. Reference JEDEC Registration MO-345, Variation AB

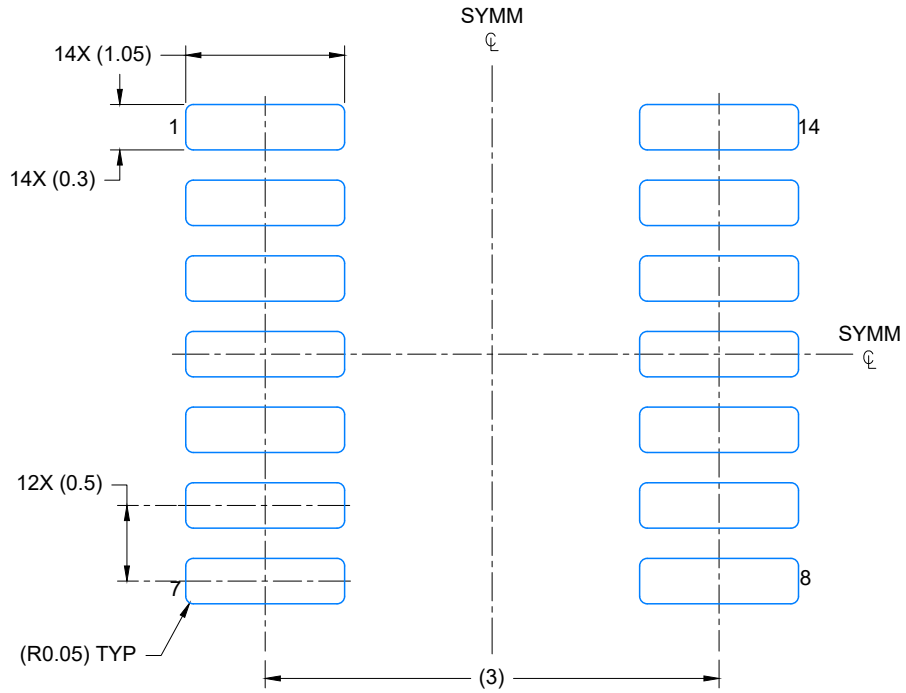


LAND PATTERN EXAMPLE
EXPOSED METAL SHOWN
SCALE: 20X

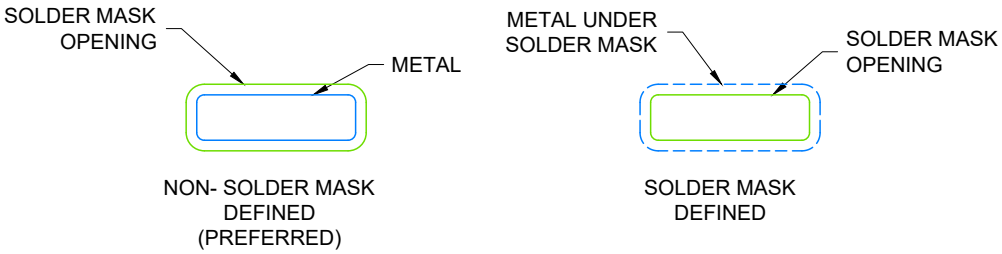


SOLDER MASK DETAILS

4224643/D 07/2024

NOTES: (continued)

6. Publication IPC-7351 may have alternate designs.
7. Solder mask tolerances between and around signal pads can vary based on board fabrication site.

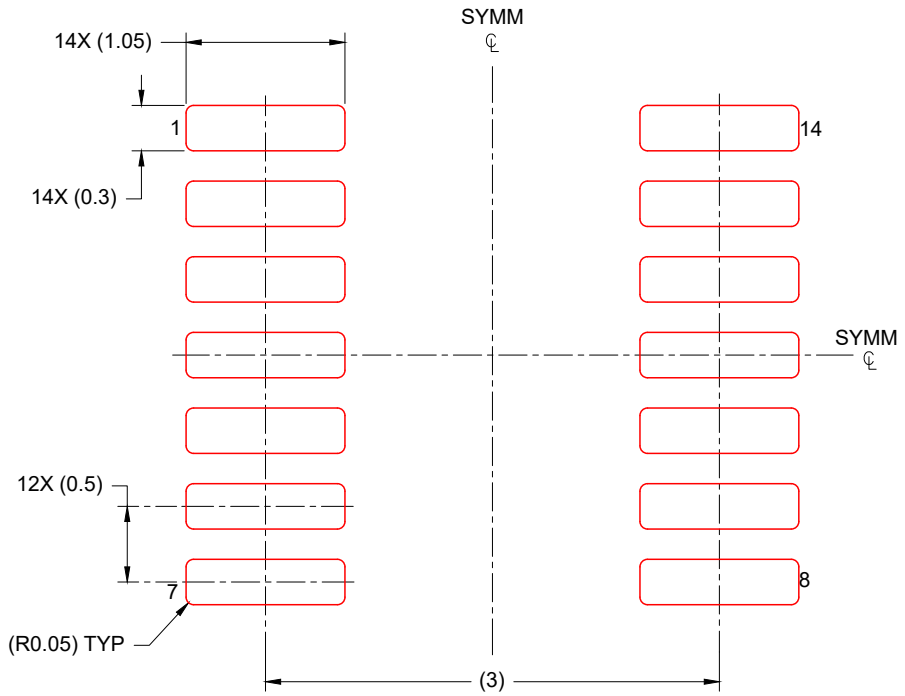


SOLDER PASTE EXAMPLE
BASED ON 0.125 mm THICK STENCIL
SCALE: 20X

4224643/D 07/2024

NOTES: (continued)

8. Laser cutting apertures with trapezoidal walls and rounded corners may offer better paste release. IPC-7525 may have alternate design recommendations.
9. Board assembly site may have different recommendations for stencil design.

# 重要通知和免责声明

TI“按原样”提供技术和可靠性数据（包括数据表）、设计资源（包括参考设计）、应用或其他设计建议、网络工具、安全信息和其他资源，不保证没有瑕疵且不做出任何明示或暗示的担保，包括但不限于对适销性、与某特定用途的适用性或不侵犯任何第三方知识产权的暗示担保。

这些资源可供使用 TI 产品进行设计的熟练开发人员使用。您将自行承担以下全部责任：(1) 针对您的应用选择合适的 TI 产品，(2) 设计、验证并测试您的应用，(3) 确保您的应用满足相应标准以及任何其他安全、安保法规或其他要求。

这些资源如有变更，恕不另行通知。TI 授权您仅可将这些资源用于研发本资源所述的 TI 产品的相关应用。严禁以其他方式对这些资源进行复制或展示。您无权使用任何其他 TI 知识产权或任何第三方知识产权。对于因您对这些资源的使用而对 TI 及其代表造成的任何索赔、损害、成本、损失和债务，您将全额赔偿，TI 对此概不负责。

TI 提供的产品受 TI 销售条款)、TI 通用质量指南 或 ti.com 上其他适用条款或 TI 产品随附的其他适用条款的约束。TI 提供这些资源并不会扩展或以其他方式更改 TI 针对 TI 产品发布的适用的担保或担保免责声明。 除非德州仪器 (TI) 明确将某产品指定为定制产品或客户特定产品，否则其产品均为按确定价格收入目录的标准通用器件。

TI 反对并拒绝您可能提出的任何其他或不同的条款。

版权所有 © 2026，德州仪器 (TI) 公司

最后更新日期：2025 年 10 月